



جامعة حلب  
كلية الطب البشري  
قسم التوليد وأمراض النساء وجراحاتها

تقدير العمر الحملّي " بالاعتماد على القطر عبر المخيخ  
Gestational Age Estimation By Transcerebellar " الجنيني  
Diameter

رسالة أعدت لنيل شهادة الدراسات العليا في التوليد وأمراض النساء

إعداد

الدكتور ياسر غادري  
إجازة في الطب البشري " *M.D.*

المشرف المشارك

د. عبد الله تار الحسن

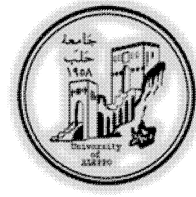
بإشراف

أ.د. بشير ناصيف

أستاذ في قسم التوليد وأمراض النساء في جامعة حلب    أستاذ في قسم التوليد وأمراض النساء في جامعة حلب

٢٠٠٩ م

Aleppo University  
Faculty of Medicine  
Department of Obstetrics & Gynecology



## **Gestational Age Estimation By Transcerebellar Diameter**

Thesis for Master Degree in Obstetrics & Gynecology

Presented By

**Dr. Yaser Ghadri**

Medicine Diploma *M.D*

Supervised By:

**Prof. Dr.Basheer Nasif**

Co-Supervisor:

**Prof. Dr.Abdusattar Al-Hasan**

Professor in the Department of Ob & Gyn. Aleppo University

2009



جامعة حلب

كلية الطب البشري

قسم التوليد وأمراض النساء وجراحاتها

# تقدير العمر الحملي بالاعتماد على القطر عبر المخيخ Gestational Age Estimation By Transcerebellar Diameter

رسالة أعدت لنيل شهادة الدراسات العليا في التوليد وأمراض النساء

إعداد

الدكتور ياسر غادري

إجازة في الطب البشري M.D.

المشرف المشارك

د. عبد الله تار الحسن

بإشراف

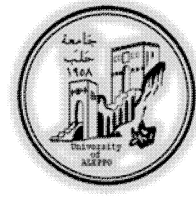
أ.د. بشير ناصيف

أستاذ في قسم التوليد وأمراض النساء في جامعة حلب    أستاذ في قسم التوليد وأمراض النساء في جامعة حلب

قدمت هذه الرسالة استكمالاً لمتطلبات نيل شهادة الدراسات العليا في التوليد وأمراض  
النساء وجراحاتها في كلية الطب البشري . جامعة حلب

٥١٤٣٠ / ٢٠٠٩

Aleppo University  
Faculty of Medicine  
Department of Obstetrics & Gynecology



## **Gestational Age Estimation By Transcerebellar Diameter**

Thesis for Master Degree in Obstetrics & Gynecology

Presented By

**Dr. Yaser Ghadri**

Medicine Diploma *M.D*

Supervised By:

**Prof. Dr. Basheer Nasif**

Co-Supervisor:

**Prof. Dr. Abdusattar Al-Hasan**

Professor in the Department of Ob & Gyn. Aleppo University

Submitted in partial fulfillment of requirement for Master Degree in  
Ob & Gyn at the Faculty of Medicine - Aleppo University.

2009 م \ 1430 هـ

## الفهرس

رقم صفحة	الموضوع
١	١ : دراسة نظرية
٢	المدة
٦	صل الأول : تطوّر نيني للجملة العصبية مركزية
١٦	الفصل لثاني : لطي السيرة متبعة في تحديد العمر ملي
٢٠	الفصل لثالث : توقع العمر ملي إسطة التّصوير بالأمواج فوق
٣٢	عدّوتة
٣٨	قياس القطر عبر المخيخ
٣٩	ثانياً : دراسة العملة
٤٣	الفصل الأول : مدخل إلى البحث
٤٤	استمارة البحث
٥١	الفصل لثاني : مدّت العامّة للمجموعات المدروسة
٥٧	الفصل لثالث : وسائل المستخدمة لتحديد سنّ الحمل في : دراسة
٨١	الفصل رابع : دراسة حالات فئة المراقبة حمليّة بالاعتماد على القطر
٨٥	عبر المخيخ نيني
٨٧	الفصل الخامس : إسة حالات فئة المواخض والقيصريّات بتمام الحمل
	بالاعتماد على القطر عبر المخيخ نيني
	الفصل السادس : دراسة حالاً، نقص الذّ داخل م (المشخّص سابقاً)
	بالاعتماد على القطر عبر المخيخ نيني
	صل السّابع : ناقشة الذّئج ودراسة معايير الشّرعّة الإحصائيّة لقيم
	القطر عبر المخيخ نيني في تحديد سنّ الحمل كما وردت في منحني
	نّ لالة Nomogram

٩٢	الفصل لثامن : دراسات المقارنة
٩٨	مقترحات والتوصيات
٩٩	لخلاصة بالآغة العرلة
١٠٢	لخلاصة بالآة الإنكليزلة
١٠٥	المراجع



## فهرس الجداول

### رقم عدد فحة

### الجدول

د راسة نظرة

الجدول رقم ١	علاقة قياس القطر بين الجداري ، مع العم ر ملي	٢٥
الجدول رقم ٢	علاقة محيط أس نيني مع العم ر ملي	٢٦
الجدول رقم ٣	علاقة القطر عبر المخيخ نيني مع العم ر الحم	٣٥
الجدول رقم ٤	علاقة القطر عبر المخيخ نيني مع العم ر ملي	٣٧

د راسة العملة

الجدول رقم ١	ز ع مريضات د راسة على المجموعات والفئات	٤٦
الجدول رقم ٢	الز ع مري لمريضات د راسة	٤٧
الجدول رقم ٣	ز ع مريضات دمة حسب الس كن	٤٨
الجدول رقم ٤	ز ع المريضات حسب الحالة الإنجابة	٤٩
الجدول رقم ٥	حرز لابارد حديد سن حمل عند الولادة بالتقييم مد ري للوليد	٥٢
الجدول رقم ٦	ز ع المريضات حسب موثوقة تاريخ آخر طمث	٥٢
الجدول رقم ٧	ز ع مريضات حسب التقييم مد ري الباكر الموثوق للحمل	٥٤
الجدول رقم ٨	يم سن حمل بالاعتماد على الفحص الس ري للولدان	٥٥
الجدول رقم ٩	دراسة القيم الوسطة للقطر عبر المخيخ نيني بالتوافق مع سن الحمل في مريضات فئة المراقبة حملية ي الثلث لذاني من الحمل	٥٨
الجدول رقم ١٠	دراسة القيم الوسطة للقطر عبر المخيخ نيني بالتوافق مع سن الحمل في مريضات فئة المراقبة حملية ي الثلث لثالث من الحمل	٥٩

٦١	الجدول رقم ١١	زَّع حالات فئة المراقبة حملية على قيم TCD المقيسة
٦٣	الجدول رقم ١٢	زيع المريضات حسب المراجعات في كل أسبوع لي
٦٤	الجدول رقم ١٣	قارنة تواتر درجات الذَّضج المخيخ من الناحية الشَّكلية لصدِّدوَّة لدى مريضات فئة المراقبة للحملية حسب فترات الحمل
٦٦	الجدول رقم ١٤	مقارنة نتائج استخدام القطر عبر المخيخ وغيره من المشعران للصدِّدوَّة في دراسة الأجنَّة لفئة المراقبة حملية بين الأسبوعين ١٦-١٨
٦٩	الجدول رقم ١٥	مقارنة نتائج استخدام القطر عبر المخيخ وغيره من المشعران للصدِّدوَّة في دراسة الأجنَّة لفئة المراقبة حملية بين الأسبوعين ١٩-٢٢
٧١	الجدول رقم ١٦	مقارنة نتائج استخدام القطر عبر المخيخ وغيره من المشعران للصدِّدوَّة في دراسة الأجنَّة لفئة المراقبة حملية بين الأسبوعين ٢٣-٢٦ من الحمل
٧٤	الجدول رقم ١٧	مقارنة نتائج استخدام القطر عبر المخيخ وغيره من المشعران للصدِّدوَّة في دراسة الأجنَّة لفئة المراقبة حملية بين الأسبوعين ٢٧-٣٠ من الحمل
٧٦	الجدول رقم ١٨	مقارنة نتائج استخدام القطر عبر المخيخ وغيره من المشعران للصدِّدوَّة في دراسة الأجنَّة لفئة المراقبة حملية بين الأسبوعين ٣١-٣٤ من الحمل
٧٨	الجدول رقم ١٩	مقارنة نتائج استخدام القطر عبر المخيخ وغيره من المشعران للصدِّدوَّة في دراسة الأجنَّة لفئة المراقبة حملية بين الأسبوعين ٣٥-٣٧ من الحمل
٨١	الجدول رقم ٢٠	زَّع مريضات الفئة لثَّانية حسب طريقة الولادة

الجدول ٢٠ مكرر	مقارنة نتائج استخدام القطر عبر المخيخ وغيره من المشعران للصدّ دويقي دراسة الأجدّة لفئة المواقض لقيصريّات بتمام الحمل	٨٣
الجدول رقم ٢١	لريقة الشّرة لحساب معايير الشّرة الإحصائيّة لل TCD	٨٨
الجدول رقم ٢٢	عايير الشّرة الإحصائيّة للقيم الوسطيّة للقطر عبر المخيخ الحنينيّ في مراحل الحمل المختلفة لمريضات الفئة الأولى للمجموعة الأولى	٨٩
الجدول رقم ٢٣	عايير الشّرة الإحصائيّة للقيم الوسطيّة للقطر عبر المخيخ الحنينيّ في مراحل الحمل المختلفة لمريضات المجموعة الأولى بعد إضافة نسبة ارتياب القياس	٩٠
الجدول رقم ٢٤	عايير الشّرة الإحصائيّة لل TCD عند المجموعة لثانيّة	٩١
الجدول رقم ٢٥	دراسات المقارنة	٩٢
الجدول رقم ٢٦	مقارنة القيم الموافقة للأسابيع حمليّة ١٦-٢٤ بين دراسة فكرت كوخان ودراستنا مع ناتج معادلة كوخان	٩٣
الجدول رقم ٢٧	مقارنة قيم TCD حسب دراستنا وناتج معادلة شانغ	٩٥

## فهرس الأشكال التوضيحية والبيانية

### رقم صفحة

### الشكل تبجي

رأسه : لرّة

٧	ام الأنبوب العصبي نيني	شكل رقم ١
٩	نغ المعيني عند الجنين	شكل رقم ٢
١٠	ناغ التّالي عند الجنين	شكل رقم ٣
١٢	نغ المتوسّط عند الجنين	شكل رقم ٤
١٣	نغ السّري عند الجنين	شكل رقم ٥
١٤	نغ النهائي عند الجنين	شكل رقم ٦
١٥	رر الجملة العصبية عند الجنين	مخطط رقم (١)
١٩	علاقة ارتفاع قعرّ حمع الذّط التّشريحية	شكل رقم ٧
٣٢	لمن الأمّ الحامل في تحديد العمر ملي	شكل رقم ٨
٣٣	المستوى مدّي لقياس القطر عبر المخيخ	شكل رقم ٩
	درجات نضج المخيخ صدّ	

### رقم صفحة

### الشكل اني

٤٧	زّع مريضات : رأسه على المجموعات والفئات	شكل رقم ١
٤٨	الزّع مريّ لمريضات : رأسه	شكل رقم ٢
٤٩	زّع المريضات سب السّكن	شكل رقم ٣
٤٩	زّع المريضات حسب الحالة الإنجابية	شكل رقم ٤
٥٣	زّع المريضات حسب موثوقة تاريخ آخر طمث	شكل رقم ٥
٥٣	زّع المريضات حسب موثوقة تاريخ آخر طمث	شكل رقم ٦
	زّع مريضات حسب التّقييم مدّي الباكر	شكل رقم ٧
٥٥	الموثوق للحمل	
٥٦	يم سنّ حمل بالفحص السّري للولدان	شكل رقم ٨
٥٩	حنى نموّ جنين الذّاجي (الأجنة الذّكور)	شكل رقم ٩

٦٠	خطّيّ وّ ر القيم الوسطيّة لقياس TCD خلال فترة الحمل لدى مريضات المراقبة الحمليّة في دراسة	لشّكل انيّ رقم ١٠
٦٢	فعاليّة قيم TCD مع دّ سنّ الحمل	لشّكل انيّ رقم ١١
٦٤	توزيع المريضات وفعاليّة TCD حسب الأسابيع حمله	لشّكل انيّ رقم ١٢
٦٥	تأثر تواتر درجات الذّج المخيخيّ نّ الذّاحية الشّكل اللّصّد دوّ لدى مريضات فئة المراقبة الحمله حسب فترات الحمل	لشّكل انيّ رقم ١٣
٦٧-٦٨	مقارنة نتائج استخدام القطر عبر المخيخ وغيره من المشعرات للصدّ دوّقيّ دراسة الأجنّة لفئة المراقبة حمله بين الأسبوعين ١٦-١٨	لشّكل انيّ رقم ١٤ (أ. ب. ج)
٦٩-٧٠	مقارنة نتائج استخدام القطر عبر المخيخ وغيره من المشعرات للصدّ دوّقيّ دراسة الأجنّة لفئة المراقبة حمله بين الأسبوعين ١٩-٢٢	لشّكل انيّ رقم ١٥ (أ. ب. ج)
٧٢-٧٣	مقارنة نتائج استخدام القطر عبر المخيخ وغيره من المشعرات للصدّ دوّقيّ دراسة الأجنّة لفئة المراقبة الحمله بين الأسبوعين ٢٣-٢٦ من الحمل	لشّكل انيّ رقم ١٦ (أ. ب. ج)
٧٤-٧٥	مقارنة نتائج استخدام القطر عبر المخيخ وغيره من المشعرات للصدّ دوّقيّ دراسة الأجنّة لفئة المراقبة حمله بين الأسبوع ٢٧-٣٠ من الحمل	لشّكل انيّ رقم ١٧ (أ. ب. ج)
٧٦-٧٧	مقارنة نتائج استخدام القطر عبر المخيخ وغيره من المشعرات للصدّ دوّقيّ دراسة الأجنّة لفئة المراقبة الحمله بين الأسبوع ٣١-٣٤ من الحمل	لشّكل انيّ رقم ١٨ (أ. ب. ج)

٨٠-٧٩	مقارنة نتائج استخدام القطر عبر المخيخ وغيره من المشعرات للصدّ دويّة في دراية الأجدّة لفئة المراقبة حملية بين الأسبوع ٣٥-٣٧ من الحمل	لشّكل اني رقم ١٩ (أ. ب. ج)
٨٢	زّع الفئة لذّانية سب طريقة تحديد سنّ الحمل	لشّكل اني رقم ٢٠
٨٣	مقارنة نتائج استخدام القطر عبر المخيخ مع القطر بين الجداريين وطول عظم الفخذ في دراسة الأجدّة لفئة المواخض والقيصريّات بتمام الحمل	لشّكل اني رقم ٢٠ مكرر
٨٤	مقارنة نتائج استخدام القطر عبر المخيخ مع محيط البطن ومحيط الرأس في دراسة الأجدّة لفئة مواخض والقيصريّات بتمام الحمل	لشّكل اني رقم ٢١
٨٥	مقارنة نتائج استخدام القطر عبر المخيخ مع متوسط القياسات للصدّ دويّة في دراسة الأجدّة لفئة مواخض والقيصريّات بتمام الحمل	لشّكل اني رقم ٢٢
٩٠	مقارنة نتائج استخدام القطر عبر المخيخ مع متوسط القياسات للصدّ دويّة في دراسة الأجدّة لفئة مواخض والقيصريّات بتمام الحمل	لشّكل اني رقم ٢٣
٩٦	مقارنة منحنيّ دلالة لدراستنا ودراسة شانغ في تايوان	لشّكل اني رقم ٢٤

٢٠٢٠

٣

الجامعة الأردنية  
مركز الـ

٢٠٢٠



## المقدمة:

أصبح استخدام الأمواج فائقة الصّوت في أثناء الحمل وسيلةً مهمةً لتقييم العديد من المسائل المتعلقة بالحمل، وفي مقدّماتها العمر الحملي، وقد شاع استخدام هذه الطّريقة التصويريّة التشخيصيّة بين أطبّاء الدّوليد و أمراض الدّساء إلى درجةٍ دعت العديد من المراكز التّعليميّة الجامعيّة التّخصّصيّة إلى تدريسها منهجاً كاملاً مستقلاًّ لمقيمي الولادة و الأمراض الدّسائيّة.

و قد أثار العديد من العلماء ، في بداية استخدام هذه الوسيلة ، القلق حول أمانها على الأمّ و الجنين ، و لذلك فقد أجريت العديد من التّجارب لدراسة سلامة استعمال الأمواج فائقة الصّوت ، و قد قادت التّناج أحياناً إلى الكثير من الالتباس، لأنّها لم تجرَ فقط على التّديّات الصغيرة بل على الحشرات و البّاتات و المعلّقات الخلويّة ، و كان من الصّعب إثبات هذه الموجودات الإيجابيّة المتناقضة على الإنسان ، ولا سيّملّه لم تُسجّل حتّى الآن لحظة أيّة تأثيرات سلبية لهذا الإجراء، على الرّغم من استعماله الواسع، (إنّقدّر التّراسات أنّ أكثر من نصف الحوامل في الولايات المتّحدة الأمريكيّة يخضعن للفحوصات الصّدويّة المتكرّرة خلال الحمل ) ، و نورد فيما يلي ملخصاً للتّراسات التي أجريت حول سلامة الأمواج فوق الصّوتيّة:

استخدمت معلومات علم الأوبئة البشريّة لتقييم التّأثيرات السّليبيّة المحتملّة للأمواج فائقة الصّوت ، و أجريت في هذا المجال العديد من التّجارب حول التّأثيرات الممكنة الحدوث بعد التعرّض المتكرّر لها ، و كان الفشل نصيب الغالبية العظمى منها.

<sup>٢</sup> وجد Scheidt و زملاؤه في دراسة أجريت عام ١٩٧٨ زيادة في احتمال تطوّر شذوذات عصبيّة عند حديثي الولادة الذين تعرّضوا للأمواج فوق الصّوتيّة التشخيصيّة خلال الحمل ، و قدصمّ الباحث المذكور و رفاقه دراستهم على أساس التّحليل الاسترجاعيّ Retrospective للمعلومات و البيانات المأخوذة من مكتب تسجيل البزل السّلولي في المؤسّسة



الدولة لرعاية الطفولة و لطلوّر البشريّ و بذلك فقد تضمّنت دراستهم مجموعةً أولى تتألّف من ٢٩٧ وليداً لأمهاتٍ أجريَ لهنّ البزل السلويّ و الدّراسة الصدّويّة في الدّلتلثالثاني من الحمل , و مجموعةً ثانية تتألّف من ٦٦١ وليداً لأمهاتٍ أجريَ لهنّ البزل السلويّ فقط ( بدون الدّراسة الصدّويّة ) , و مجموعةً ثالثةً تتألّف من ٩٤٩ وليداً لأمهاتهنّ يُجرى لهنّ البزل السلويّ و لا الدّراسة الصدّويّة .

و قد درس الباحثون نتائج ما بعد الولادة من حيث الوزن , و الطّول , و محيط الرّأس , و معطيات الفحص العصبيّ المُفصّل , و وجدوا نسبةً أعلى لمتعكسات القبض و المقويّة الرّقبيّة الشاذّة Abnormal Grasp and Tonic neck reflexes بين حديثي الولادة الذين تعرّضوا للأمواج فائقة الصّوت. بينما لم يجدوا أيّة فروق في نسب الإنتان , و الشنوذات السّميّة , و الاختلاجات الوليديّة , و لطلوّر العصبيّ التّالي , ممّا جعل المؤلّف يعتقد أنّ الدّلتائج الأوّليّة تلذوذ المتعكسات في المجموعة المعرّضة للأمواج فوق لصوتيّة كانت محض مصادفةً فقط .

<sup>٣</sup> درس كلّ من Kinnier-Wilson و Waterhouse عام ١٩٨١ العلاقة المُحتملة بين التّعرّض للأمواج فائقة الصّوت و خباثات الطّفولة و ذلك بمراجعة سجلّات ٧٣١ أمّاً كنّ قنجلبن أطفالاً توقّوا بالسّرطان في المملكة المتّحدة ما بين عامي ١٩٧٢ - ١٩٨١ , و بالمقارنة مع مجموعة شاهديّة ضمّت ٣١ أمّاً لطفلٍ سليمٍ , و لم يلحظ الباحثان أيّة فروقٍ مهمّةٍ في تعرّض الأمّهات في المجموعتين إلى الأمواج فائقة الصّوت خلال الحمل.

<sup>٤</sup> هذه الدّلتيجة توصّل إلها أيضاً العالم Cartwright و رفاقه في دراستهم عام ١٩٨٤ لـ ٥٥ طفلاً مصاباً بالخباثات الطّفوليّة المشخّصة بين عامي ١٩٨٠ - ١٩٨٣ , ( بالمقارنة مع المجموعة الشاهديّة المكوّنة من ١١١٠ طفلٍ سليمين ) .

<sup>٥</sup> أمّا الدّراسة الوبائيّة الأكثر أهميّة في هذا المجال, فقد قام Stark و مساعدوه بإجرائها عام ١٩٨٨ مدّبعين أسلوب المراقبة المديدة للأطفال المدروسين لتحليل نتائج الدّموّ , و التّضج العصبيّ و المناعيّ , و الدّغوات السلوكيّة عند الأطفال المتعرّضين للأمواج الصدّويّة , في أثناء الحمل, آخذين بعين الاعتبار عمر الحمل عند التّعرّض للأمواج فائقة الصّوت , و وزن الولادة , و مشعر أبغار , و محيط رأس الوليد , و الشنوذات الخلقية , و إنتانات الوليد , و فحص الأطفال التّالي في عمر ٧ - ١٢ سنة من الدّاحية السّميّة و البصريّة , و الوظيفة الاستعرافيّة , و السّلوّك , و الحالة العصبيّة.

لم يلحظ شتارك و رفاقه لأي فروقٍ حيويّةٍ مهمّةٍ بين المجموعتين , ولكّنه أشار إلى حدوثٍ نسبة أعلى لعسرة القراءة Dyslexia في المجموعة المعرّضة للأمواج الصّدويّة داخل الرّحم , وكانت نسبة الولدان ناقصي الوزن عند الولادة أعلى في المجموعة المعرّضة بالمقارنة مع الشّدّواهد , ولكنّ نقص الوزن هذا كان استطبّاب الدّراسة الصّدويّة في الكثير من الأحيان , ممّا سبّب صعوبة في تفسير الدّلائج .

أدرس ليونس Lyons و مساعدوه عام ١٩٩٢ ( ١٤٩ ) زوجاً من الأشقاء من الجنس نفسه , تعرّض أحد الشّقيقتين للأمواج فائقة الصّوت في أثناء الحياة الرّحميّة , بينما لم يتعرّض الآخر لها . و لم يلحظ الباحث وجود فروقٍ ذات أهميّة إحصائيّة في محيط الرّأس , و الوزن الولاديّ , و طول حديث الولادة , أو في الوزن بعمر ٦ سنوات , أو في نمطلّذموّ في المجموعتين في الأعمار الأكبر من ٦ سنوات .

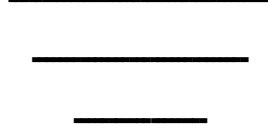
فبقّ الباحثون اليوم على أنّ الوّاساتِ التّشخيصيّة المعتمدة على الأمواج فائقة الصّوت لا تحمّل أيّة مخاطر بيولوجيّة على الأمّ أو الجنين , وعلى الوّغم من أنّ الاحتمال ما يزال قائماً لكشف مثل هذه التّأثيرات في المستقبل , تؤكّد المعلومات الحاليّة أنّ فوائد استعمال هذه الأمواج بالمستويات الحذرة تفوقُ بكثير أيّة مخاطر محتملة .

و لذلك يدأبُ الباحثون على تطوير دراساتٍ تشخيصيّة صدويّة أكثر دقّة و فائدة للوصول إلى ممارسة توليديّة أمثل , و لعلّ تحديد العمر الحملّي بدقّة يُعتبر , حتّى اليوم , أحد المجالات الأكثر عرضة للسّؤال في الممارسة التوليديّة , إيعتمد تشخيصُ و تدبيرُ حالاتٍ مثل المخاض الباكر , و التمزّق الباكر للأغشية الجنينيّة , و تأخّر ( أو تحدّد ) الدّمّو داخل الرّحم , و حالات الحمل المتطول أو المديد , على المعرفة الدّقيقة للعمر الحملّي . كما يتأثّر توقّيتُ إجراء العديد من المداخلات التّشخيصيّة ( كالبزّل السّلوّي , واعتيان الزّغابات المشيميّة , وتحديد المستويات المصلّيّة الوالديّة و الجنينيّة للألفا فيتوبروتين ) بالتّحديد الدّقيق لعمر الجنين داخل الرّحم .

لذلك عندما لا يكون تاريخ الطّمث مثلاً أخير واضحاً أو موثقاً , تصبح الدّراسات الصّدويّة الحلّ الوحيد المقبول لتحديد سنّ الحمل و ما يتركز عليه من تشخيص و إجراءات علاجيّة مختلفة .

و لأنّ الدّراسة الصّدويّة المعتمدة على القطر بين الجداريّين , و طول عظم الفخذ , و محيط البطن , و غيرها من وسائل تحديد العمر الحملّي التّقليديّة ليست ذات كفاءة مثلى من

حيث الدقّة و الدّوعيّة, فقد استمرّ البحث عن معايير صدويّة جديدة أكثر فائدة و دقّة ,  
و منها القطر عبر المخيخ الجنينيّ Trans-Cerebellar Diameter موضوع بحثنا هذا.



## الفصل الأوّل:

## لتطوّر الجنيني للجملة العصبية المركزية

<sup>٧</sup> يبدأ تطوّر الجملة العصبية في بداية الأسبوع الثالث من الحياة الجنينية , عندما يُؤثرُ الحبل الظهرى و الوريقة الوسطى جانب محورية في الوريقة الخارجية العصبية Neuro ectoderm تحريضاً فتسّمك الأخيرة و تتحوّل إلى الميزابة العصبية Neural groove المحدودة بانتشاءين عصبيين , و تتحوّل هذه الميزابة أخيراً إلى أنبوب عصبي Neural tube تنفصل عن عرفيه خلايا العرف العصبي. و يُعطي الأنبوب العصبي الجملة العصبية المركزية , بينما تعطي خلايا العرف العصبي مشتقات عديدة منها العقد العصبية القحفية و الشوكية و الودية, و تمثّل جميعها الجملة العصبية المحيطية.

يبدأ الالتحام انتشائي الميزابة العصبية في نحو اليوم الثاني و العشرين في سوية القطعة الظهريّة ٤-٦, و يتقدّم بصورة منتظمة إلى الأمام و الخلف , و يُمثّل القسم الموجود أمام نقطة بدء الالتحام الدماغ المقبل على التقريب (الثلاثان الأماميان ) , بينما يُمثّل القسم الخلفي (الثلاث الخلفي) (التخاع الشوكي) المقبل.

و عند وصول الالتحام إلى طرفي الميزابة العصبية, يبقى الأنبوب العصبي مفتوحاً في الأمام بالمنفذ العصبي الأمامي Cranial neuropore, و في الخلف بالمنفذ العصبي الخلفي Caudal neuropore, و هذان المنفذان يصلان لمعة الأنبوب بالجوف الأمنيوسي.

ينغلق المنفذ العصبي الأمامي في نحو اليوم الخامس و العشرين من الحياة داخل الرحميّة, بينما ينغلق المنفذ الخلفي بعد ذلك بيومين . و في لتطوّر اللاحق , تعطي جدران الأنبوب العصبي نسيج الدماغ و التخاع الشوكي بينما تتحوّل لمعته إلى بطينات الدماغ و القناة المركزية للتخاع الشوكي.

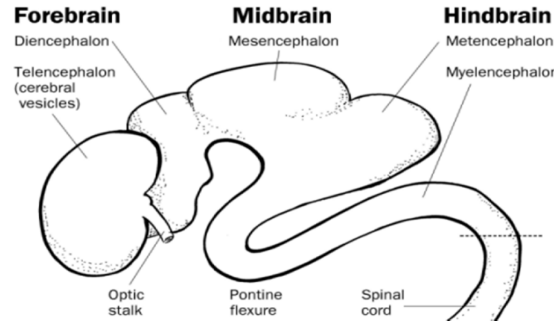
<sup>٨</sup> يُمكن أن نُميّز في لتطوّر الأولي للأنبوب العصبي الملامح الشكلية التالية:

١. تظهر ثلاثة انتفاخات أمامية تمثّل الحويصلات الدماغية الابتدائية

Primary brain vesicles و هي:

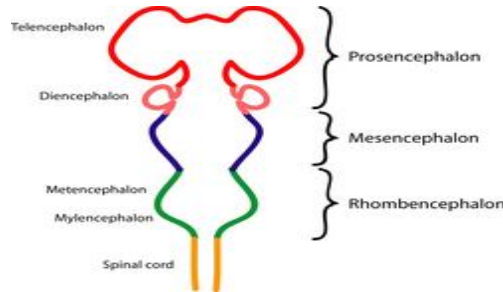
- الدماغ الأمامي Prosencephalon = Fore brain
- الدماغ المتوسط Mesencephalon = Mid brain
- الدماغ الخلفي (المعيني) Rhombencephalon = Hind brain

الشكل (١)  
يسّين أقسام  
الأنبوب  
العصبي  
الجنيني



٢. يبقى الأنبوب العصبي ضيقاً من الناحية الخلفية يُمدُّ لُ منطقة النّخاع الشوكي المقبل , و تتغيّر استقامة الأنبوب العصبي يظهر انحناءين:
- الانحناء الرقبّي Cervical flexure في سويّة اتّصال الدّماغ الخلفي بالنّخاع الشوكي .
  - الانحناء الرأسي Cephalic flexure في سويّة الدّماغ المتوسّط.

الشكل  
(١-مكرّر)  
يسّين أقسام  
الأنبوب  
العصبي  
الجنيني



- تتحفي نحو الأسبوع الخامس تقسيمات أخرى للحوصلات الدّماغية السابقة هي:
١. ينقسم الدّماغ الأمامي إلى دماغين: دماغ نهائيّ Telencephalon يتلّاف من جزء متوسّط و انتفاخين جانبيّ يُمدُّ لان نصفي الكرة المخيّة الابتدائيّين Primitive cerebral hemispheres.
  - و دماغ سريريّ Diencephalon يتميّز بوجود الحوصلين البصريّين Optic vesicles على جانبيه.
  ٢. يبقى الدّماغ المتوسّط دون انقسام , و ينفصل عن الدّماغ الخلفي بشق عميق يُدعى مضيق الدّماغ المعيني .

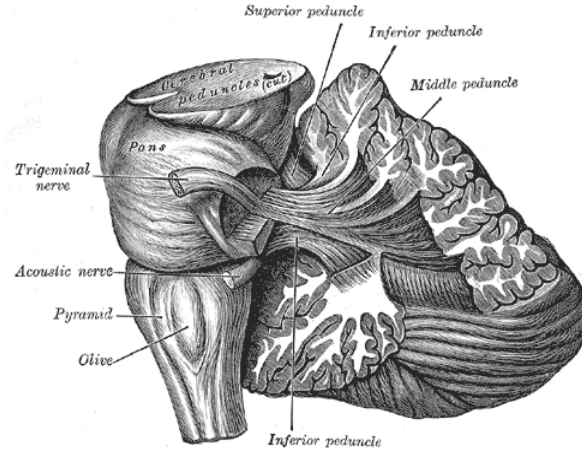
٣. ينقسمُ الدِّماغُ الخلفيُّ إلى دماغين هما: الدِّماغُ الدَّالي Metencephalon الذي يُشكِّلُ فيما بعد الجسر Pons و المخيخ Cerebellum .  
و الدِّماغُ النِّخاعي Myelencephalon الذي يُشكِّلُ فيما بعد البصلة  
السِّيسائية Medula oblongata . و تتحدَّد المنطقة الفاصلة بين هذين  
الدِّمايق بانحناءٍ جديدٍ يُدعى الانحناء الجسريّ Pontine flexure .

أمَّا أجواف الأقسام السَّابقة فتُمثِّلُ القناة المركزيَّة Central canal ضمن الدِّخاع  
الشَّوكيَّ , و البطين الرَّابع في الدِّماغ المعينيَّ , و البطين الدَّالث في الدِّماغ السِّريريَّ ,  
و اللِّبنيين . الجانبيين في نصفي الكرة المخيَّة .  
وتتَّصلُ هذه الأجوافُ بعضُها مع بعض بصورةٍ مستمرَّةٍ , إنَّتمُ الاتِّصال بين  
البطينين الدَّالث والرَّابع عبر قناة سلفيوس Sylvius في الدِّماغ المتوسِّط , و يتَّصل البطينان  
الجانبِيَّان مع البطين الدَّالث عبر ثقبَي مونرو Monro .

### تطوُّر الدِّماغ المعينيَّ Rhombencephalon :

<sup>٩</sup> يتألَّف الدِّماغ المعينيَّ من كلِّ من الدِّماغ النِّخاعي , و هو الأكثر خلفيَّةً بين  
الحويصلات الدِّماغية , و الدِّماغ الدَّالي الذي يمتدُّ من الانحناء الجسريَّ إلى مضيق الدِّماغ  
المعينيَّ .

الشكل (٢)  
يبين الدماغ  
المعيني عند  
جنين الإنسان



### a. الدماغ النخاعي Myelencephalon

يُعطى هذا الدماغ البصلة السيسانية و يُمثّل الحويصل الدماغي الخامس بينما تمثّل لمعته البطين الرابع.

يفترق هذا الدماغ عن النخاع الشوكي شكلياً بأن جدرانه الجانبية تدور حول محورٍ طوليٍّ افتراضيٍّ يقع ضمن الصفيحة الأرضية بحركة تشبه فتح الكتاب , ويفصل ذلك الممدّد الصفيحتين القاعديتين عن الجانبيتين بصورةٍ جليةٍ. تتضمّن الصفيحتان القاعديتان النوى المحركة للبصلة , وتقسّم إلى ثلاث مجموعاتٍ في كلّ صفيحةٍ هي:

- (١) مجموعة نابذة جسميّة أنسيّة.
- (٢) مجموعة نابذة حشويّة خاصّة بينيّة.
- (٣) مجموعة نابذة حشويّة عامّة وحشيّة.

أمّا الصفيحتان الجانبيتان فتشتمل كلّ واحدةٍ منهما على ثلاث مجموعاتٍ من النوى

الواصلّة الحسيّة Sensory relay nuclei:

- (١) مجموعة جاذبة حشويّة عامّة أنسيّة.
- (٢) مجموعة جاذبة حشويّة خاصّة بينيّة.
- (٣) مجموعة جاذبة جسميّة وحشيّة.

و تصبح الصفيحة السقفية للدماغ النخاعي القطو رمولةً من طبقةٍ واحدةٍ من الخلايا السيسلاف المترافقة بنسيجٍ متوسط وعائليٍّ يمثّل الأم الحنون Pia matter, يُعرف المكوّنان معاً باسم الغشاء المشيمي Tela choroida. وتتشكّل بسبب القاطر التكاثريّ للدّسيج المتوسط

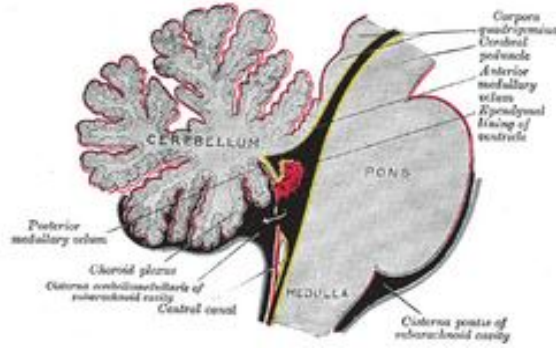
الوعائي انخماصات كيسيّة الشكل تمتدّ باتجاه جوف البطن الرابع , و تنغصّن هذه الاندفاعات مشكّلة الصّفائر المشيميّة Choroid plexus التي تفرّز السائل الدماغي الشوكي , و يتحلّل الغشاء المشيميّ في نقطة متوسطة في ثقب ماجندي و نقطتين جانبيتين في ثقب لوشكا.

### b. الدماغ الدّالي Metencephalon:

هو الحويصل الدماغي الرابع , و يتميّز بخصوصيّة تعضيّ صفيحتيه القاعديتين و الجانبيتين و يتشكّل منه مكوّنان هما:

- يتشكّل المخيخ من سقفه , و يعمل مركز تنسيق توازنيّ حركي .
- تشكّل الجسر من أرضيته , و يعمل ممراً للألياف العصبيّة الممتدّة بين النخاع الشوكي و القشرة المخيّة و المخيخية.

لشكّل (٣)  
بسيّن الدماغ  
الدّالي عند  
جنين الإنسان



### المخيخ Cerebellum:

- تطوّر الشكليّ للمخيخ:

يلتوي الجزءان الظّهريّان- الجانبيّان للصّفيحتين الجانبيتين بالاتجاه الأنسيّ مشكّلين الشّفتين المعينيتين Rhombic lips, وتكون هاتان الشّفتان مفصولتين بعضهما عن بعض لدرجة كبيرة في القسم الخلفيّ من الدماغ الدّالي, و لكدّهما تقتربان و تلتقيان على الخطّ المتوسط في السّويّة الواقعة خلف الدماغ المتوسط مباشرة.

تنضغط الشّفتان المعينيتان بالاتجاه الرّأسيّ -الذيّ نتيجة تعمّق الانحناء الجسريّ الكبير و تشكّلان معاً الصّفيحة المخيخية Cerebellar plate, و يتحدّد في الجنين ذي العمر الحملّيّ الموافق لـ ١٢ أسبوعاً حمليّاً جزءاً أوسط في هذه الصّفيحة هو بداءة الجسم الدوديّ للمخيخ Vermis , و جزءان جانبيّان هما نصف الكرة المخيخية Hemispheres , و يظهر



سريعاً تلمّ مستعرضٌ يفصل العقيدة Nodule عن الجسم التّوديّ و الحويجلتين Flocculus و عن نصفي الكرة المخيخيّة (تعدّ العقيدة و الحويجلتان أقسام المخيخ القديم Paleocerebellum, بينما يُعدّ نصفا الكرة المخيخيّة الجزء الحديث التّموّ من المخيخ Neocerebellum - و ذلك من وجهة نظر لتطوّر التّوعيّ -).

#### ■ تطوّر الأسجيّ للمخيخ:

يُلاحظ أنّ الصّفحة المخيخيّة عند بدء تشكّلها تكون مؤلّفةً من خلايا ظهاريّة. عصبيّة , و معطف , و طبقة هاشيّة من الخلايا. و تهاجر خلال لتطوّر (للاّ حق أعداد من الخلايا المشقّة منها إلى سطح المخيخ لتشكّل الطبقة الحبيبيّة الخارجيّة External granular layer له , و تحتفظ هذه الخلايا بمقدرتها على الانقسام و تشكّل حزاماً تكاثريّاً على سطح المخيخ.

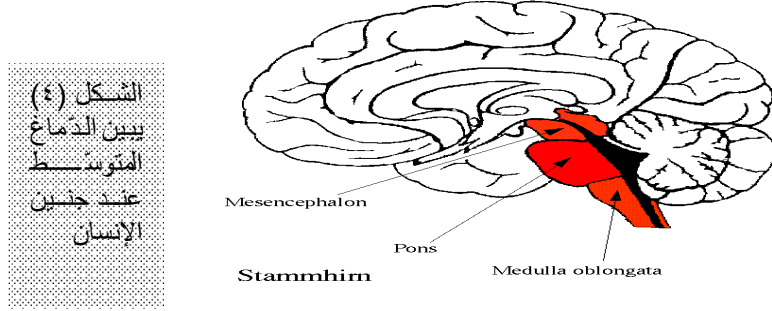
و في الشّهر السّادس, تبدأ الطبقة الحبيبيّة الخارجيّة بإنشاء مختلف الأنماط الخلويّة الأخرى للمخيخ, و التي تهاجر باتّجاه خلايا Purkinje الأخذة بالتّمايز, و تعطي الخلايا الحبيبيّة Granular cells , و الخلايا السّيّيّة Basket cells , و الخلايا الدّجميّة Stellate cells. و هكذا تتشكّل القشرة المخيخيّة من خلايا بوركنج , و عصبونات غولجي ذات القطّ الثّاني , و العصبونات المتشكّلة من الطبقة الحبيبيّة الخارجيّة , و تصلّ هذه القشرة إلى حجمها الأعظميّ بعد الولادة , أمّا الدّوى المخيخيّة العميقة مثل الدّواة المسدّنة Dentate nucleus, فتتشكّل في موضعها الدّهائيّ قبل الولادة بوقتٍ طويل.

و نتيجة لتطوّر القشرة المخيخيّة, فإنّها تلتوي , و بذلك تظهر البنية الصّفحيّة للمخيخ على السّطح ( تظهر أولاً في أقسام المخيخ القديم ثمّ في المخيخ الحديث ) , و تشكّل المحاور الأسطوانيّة لعصبونات الدّوى المخيخيّة في الدّاخل القسم الأكبر من السّويقات المخيخيّة العليا. تبين حديثاً أنّ عالجّة حديثي الولادة المصابين بأمراضٍ فيروسيّة ( كالإيدز ) بالعقاقير التي تثبّط تركيب الـ DNA تُسبّبُ أذيةً بالغة في مستوى تمايز العصبونات المخيخيّة , و تستمرّ الطبقة الظّهاريّة العصبيّة السّطحيّة بإنتاجها حتّى الفترة الأولى بعد الولادة.

### تطوّر الدّماغ المتوسّط : Mesencephalon

<sup>١٠</sup> هو الحويصل الدّماغي الثّالث, و يُعدّ أكثر الحويصلات الدّماغيّة بدائيّةً فهو يسمّ تطوّر رقيقٍ فقط في البنية الأساسيّة للأنبوب العصبيّ, و يضيقُ بطين هذا الدّماغ حتّى لاّ إلى

قناة ضيقة تدعى القناة الدماغية (قناة سلفيوس Sylvius) التي تصل البطين الدماغى الثالث مع الرابع.



### تطور الدماغ السريري Diencephalon:

يُمثّل الدماغ السريري الحويصل الدماغى الثانى، بينما يُشكّل جوفه البطين الدماغى الثالث. و يتطور من هذا الدماغ كل من:

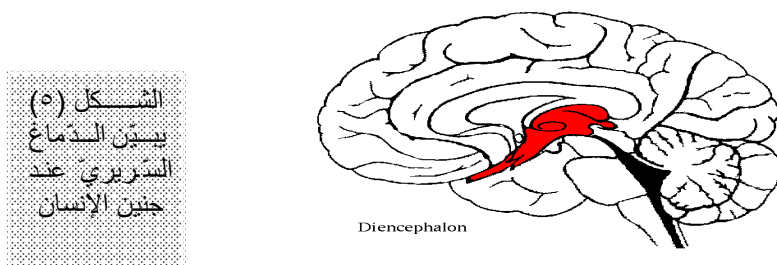
١. الصفيحة السقفية و الغدة الصنوبرية.
٢. الصفيحة الجانبية و السريير البصري و ما تحت السريير البصري.
٣. الغدة الذخامية التي تتطور من جزأين مختلفي المنشأ:

■ جيبٌ تستره وريقة خارجية ينمو من سقف الفم الابتدائي أمام الغشاء الفموي البلعومي مباشرة , و يُدعى جيب راتكة Rathke.

■ توسّع سفلي الاتجاه للدماغ السريري يُدعى القمع Infundibulum.

و يكون جيب راتكة عند الجنين ذى العمر الحملّي الموافق لثلاثة أسابيع عبارة عن انخماصٍ صغيرٍ , ثمّ ينمو ظهرياً باتجاه القمع. و في نهاية الشهر الثاني يفقد الجيب ارتباطه مع التجويف الفوي و يُصبح على تماس كبير مع القمع.

و يزداد عدد الخلايا في جدار جيب راتكة بسرعة خلال الطور اللاحق، و  
يتشكل منها الفص الأمامي للغدة الدرقية، ثم ينمو امتداد صغير لهذا الفص على استطالة  
سويقة القمع و يُدعى الفص ( القسم ) الأمامي للدخامة.  
أما الجدار الخلفي لجيب راتكة فإنه يتطور إلى الفص المتوسط للدخامة، و يبدو أن لهذا  
القسم أهمية ضئيلة عند الإنسان.  
أما القمع فإنه يشكل سويقة الدخامة و فصها الخلفي العصبي، و يتألف هذا الفص من  
خلايا دبقية عصبية، و يحتوي على عدد من الألياف العصبية القادمة من منطقة تحت السريير  
البصري.



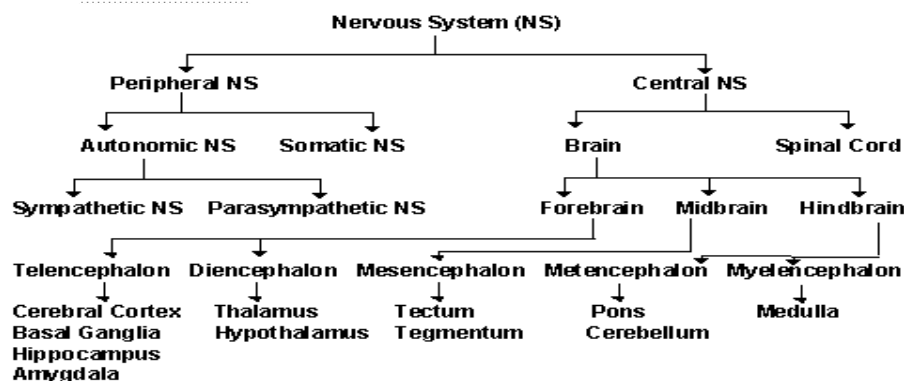
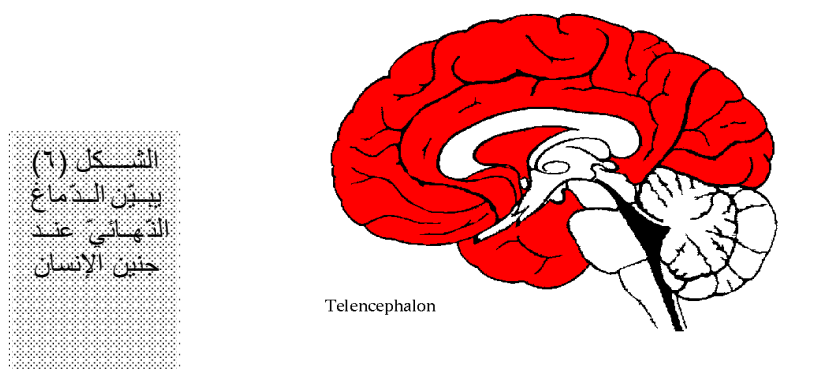
### تطور الدماغ النهائي Telencephalon:

يتألف الدماغ النهائي من انتفاخين كبيرين، هما نصف الكرة المخية Cerebral hemispheres، و من جزء أوسط يُدعى الصفيحة الانتهازية Lamina terminalis. و يذّصل جوفاً نصفي الكرة المخية ( و هما البطينان الجانبيان ) مع لمعة الدماغ السريري عن طريق ثقب مونرو Monro.

#### تطور نصف الكرة المخية:

ينشأ نصف الكرة المخية في بداية الأسبوع الخامس من انتفاخين جانبيين للجدارين الجانبيين للدماغ الأمامي، و يبدأ القسم الأوسط من نصفي الكرة المخية في منتصف الشهر الثاني للحمل بالزيادة في الحجم، و نتيجة لذلك تبرز هذه المنطقة ضمن لمعة كل نصف كرة و في أرضية ثقب مونرو (تظهر هذه المنطقة مخططة في المقاطع العرضية و لذلك تدعى بالجسم المخطط Corpus striatum).

و تفشل المنطقة التي يرتبط فيها جدار كل نصف كرة بسقف الدماغ السريري , في إعطاء عدد كافٍ من الخلايا الأصلية العصبية , و لذلك تبقى هذه المنطقة رقيقة الجدران. و يتألف جدار نصف الكرة المخية في هذه المنطقة من طبقة خلوية سينية واحدة مغطاة بنسيج متوسط عائي و تشكل الطبقتان معاً ضفيرة مشيمية لكل نصف كرة و تبرز مع التطور اللاحق ضمن البطين الجانبي على طول خط يعرف باسم الشق المشيمي Choriod fissure. يسمك جدار نصف الكرة المخية فوق الشق المشيمي مباشرة لتتشكّل منطقة حسان البحر Hypocampus , و تبرز هذه المنطقة للجهة الخارجية بالتدرج ضمن البطين الجانبي. يلتحم الجدار الأنسي لنصف الكرة المخية مع الجدار الجانبي للدماغ السريري في كل جانب , بحيث تصبح النواة المذنبة و السريير البصري في ماس مباشر فيما بينهما. يُسبب النمو المستمر لنصفي الكرة المخية أيضاً بالاتجاه الأمامي و الظهرى و السفلي و ضوح الفص الجبهي , و الصدغي و القوي لهما. و بسبب التباطؤ النسبي في نمو المنطقة الواقعة فوق الجسم المخطط , فإن المنطقة الواقعة بين الفصين الجبهي و الصدغي من كل جهة تصبح مقعرة و تعرف باسم الجزيرة Insula.



مخطط رقم (١) يبين تطور الجملة العصبية الجنينية

### التّشريح الصّدويّ لرأس الجنين:

- تُستخدم المقاطع الثّلاثية: المحوريّ Axial , والسهميّ Sagital , والإكليليّ Coronal عند تقييم الرّأس الجنينيّ , و يصعب عادة الحصول على المقطع السهميّ والإكليليّ عبر المسح البطنيّ بينما يسهل تنفيذ ذلك مهبليّاً.
- يُجرى المسح البطنيّ للمقطع المحوريّ لرأس الجنين في عدّة مستوياتٍ هي:
١. منطقة المسح المحوريّ العليا التي تمرّ من خلال جسمي البطينين الجانبيين.
  ٢. منطقة المسح المحوريّ الدّالية التي تمرّ من خلال القرون الجبهية و الأذينة الدّماغية و القرن القفويّ للبطين الجانبيّ.
  ٣. منطقة المسح المحوريّ الدّالّ التي تجري في مستوى القطر بين الجداريّين.
  ٤. منطقة المسح المحوريّ الرّابعة التي تمرّ من خلال الدّماغ المتوسّط و الصّهرج المصالب , و يُشاهد نبضان شرايين دائرة ويليس في هذه المسافة محيطاً بالتّصالب البصريّ الصّدويّ.
  ٥. منطقة المسح المحوريّ الخامسة و هي الأخفض و يمكن أن نرى في هذا المستوى تراكيب الحفرة الخلفية للقحف.

### الفصل الدّاني:

## الطّرق السريريّة المتّبعة في تحديد العمر الحملّيّ

### A. تقييم العمر الحملّيّ بالاعتماد على تاريخ الطّمث الأخير:

يُعتبر تاريخُ اليومِ الأوَّل من الطَّمثِ الأخير (LMP) last menstrual period من الوسائل القديمة لتحديد العمر الحملِيّ و على هذا يجب أن يكون الـ LMP المعتمدُ في توثيق العمر الحملِيّ دقيقاً تحدُّدُ فيه صفات الطَّمثِ و زمن حدوثه للتَّكَّد من أنَّه كان طبيعياً , نظراً لأنَّ الحالات التي تلاحظ فيها المرأة حدوث نزوف متكررة إبان حملها \_ مما يُوحى لها بعدم وجود الحمل \_ ليست قليلة , و يُستعان أيضاً بتاريخ الطَّمثِ السَّابق للأخير و لعدَّة دوراتٍ سابقة ( من ٣ إلى ٦ دوراتٍ طمثية سابقة ).

لا يُمكن للعديد من الدَّسائِعُ تاريخٍ موثوقٍ لليومِ الأوَّل من طمثهنَّ الأخير , فقد سجَّل Wenner و زميله Young عام ١٩٩٢ أنَّ ثلث مريضاتهنَّ يعطين تاريخاً لا نوعياً للحمل.<sup>١٢</sup> بينما أكَّد Grennert و رفاقه عام ١٩٩٦ أنَّ ٤٠,٨% من ٤٦٨ حاملاً كنَّ غير قادراتٍ على إعطاء أية معلومةٍ عن تاريخ طمثهنَّ الأخير , و أنَّ ٩,٨% من الحوامل المدروسات لا يُمكن تحديد الـ LMP لهنَّ بدقةٍ, لكون دوراتهنَّ الطَّمثية السَّابقة للحمل غير منتظمةٍ أو شحيحةٍ , و أنَّ ٣٠,٢٥% أخريات كنَّ يتناولن موانع الحمل الفمويَّة الهرمونيَّة قبل الحمل مباشرةً , و أنَّ ٧,٢% أيضاً يُصعب التشخيص القيق لسنَّ الحمل لديهنَّ بالاعتماد على الـ LMP بسبب النَّزف المتكرَّر في الثَّلاث الأوَّل.

و لحساب موعد الولادة المتوقَّع (EDD) Estimated date of delivery حسب قاعدة نيجلة Neglah يجب إضافة ٢٨٠ يوماً على اليومِ الأوَّل للطَّمثِ الأخير أي ما يُعادل تسعة أشهرٍ شمسيَّةٍ و سبعة أيَّام ( أو عشرة أشهر قمرية ).<sup>١٣</sup> على أنَّ لهذه القاعدة شروطاً يجب مراعاتها إبان الاستجواب و هي:

- أن يكون تواتر دورة المرأة طمثية و مدتها منتظمين , و أن تكون الدَّورة الأخيرة سووية في وقتها و أوصافها.
- أن لا يكون الحمل قد حدث عقب التَّوقُّف عن استعمال الحبوب المانعة للحمل , نظراً لتأخَّر حدوث الإباضة بعد إيقافها حياناً .

<sup>١٤</sup> يمكن تصنيف موثوقيَّة الـ EDD المعتمدة على تاريخ آخر طمث كما يلي:

### ❖ التَّاريخ الممتاز Excellent dates:

يُعتبر تاريخ الطَّمثِ الأخير ممتاز الموثوقيَّة في إحدى الطَّائفتين التَّاليتين:

- (١) مريضة ذات معلوماتٍ سريريَّةٍ كافيةٍ ( LMP معروف بدقةٍ و دورة طمثية سووية , مدَّة الدَّورة بين ٢٨-٣٠ يوماً , عدم الاستخدام الحديث

لحبوب منع الحمل - على الأقل خلال سنة الأشهر السابقة - , توافق حجم الرحم مع تاريخ آخر دورة طمثية ( , بالإضافة إلى توافق القياسات الجنينية بالأموح فوق الصوتية بين الأسبوعين ١٦-٢٤ الحملين مع التقييم السريري للعمر الحلي .

(٢) مريضة ذات معلومات سريرية غير كافية أو غير كاملة , و لكن مع فحصين موثوقين بالأموح فوق الصوتية بين الأسبوعين ١٦-٢٤ يظهران نمواً جنينياً خطئياً و نفس ملاعد المتوقَّع للولادة.

### ❖ التاريخ الجيد : Good dates

يُعتبر تاريخ الطمث الأخير جيد الموثوقية في إحدى الطلّتين التاليتين:

- (١) مريضة ذات معلومات سريرية كافية ( كما ذكر سابقاً ) مع فحص واحد مؤكد بالأموح فوق الصوتية بعد الأسبوع ٢٤ من الحمل.
- (٢) مريضة ذات معلومات سريرية غير كافية أو غير كاملة مع فحصين أو أكثر بالأموح فوق الصوتية يظهران نمواً جنينياً كفاً و نفس الموعد المتوقَّع للولادة.

### ❖ التاريخ السيء : Poor dates

أي وضع سريري يختلف عما ذكر سابقاً .

## **B. تقييم العمر الحلي بالاعتماد على المناورات السريرية:**

<sup>١٥</sup> يُعتبر تحديد بُعد قعر الرحم عن الحافة العلوية لعظم العانة الطريقة الأقدم لتحديد عمر الجنين , و تؤكد الكلية الأمريكية للمولّدين و النسائيين أن هذالطريقة ذات دقة منخفضة عندما تعتمد بشكل منفرد في تحديد حجم الجنين و وزنه , ولكّنها عالية الدقة نسبياً في تحديد العمر الحلي .

يُعدّ كلاً من حجم السّئل السّلولي amniotic fluid , و صفات الجسم الأمومي مثل البدانة , توترية البطن abdominal tenseness , و وضع الجنين داخل الرحم

lie of baby الحجم و صايريس الرّحم و يُعَيِّد حجم الجنين. عبر الجسّ من خلال جدار البطن .

وعلى الرّغم من نَقَم هذه الطّريقة و أهميّتها، فإنّها لا تستطيع أن تحدّد بدقة سنّ الحمل ( إذ يقدر مجال الخطأ فيها بحوالي أسبوعين ) ، كما أنّ هنالك عدّة دراسات قد أخطأت متوسطة في التّقدير السريريّ للوزن الجنينيّ تصل إلى ٣٠٠ غ.

### • قياس بُعد قعر الرّحم عن الحافة العلويّة للعانة:

يُمْكِنُ أَنْ يُزَوَّجَ تَقْيَاسُ بُعْدِ قَعْرِ الرّحِمِ عَنِ الحَافَةِ العُلُويّةِ للعانة the height of the uterine fundus above the maternal symphysis pubis المولّد بمعلومات مفيدة عن العمر الحملّي من جهةٍ ، و حجم الجنين من جهةٍ أخرى ، و بالتّالي يمكنه أن يكون مُنبئاً جيّداً عن مدى التّناسب بين المتغيّرين السابقين.

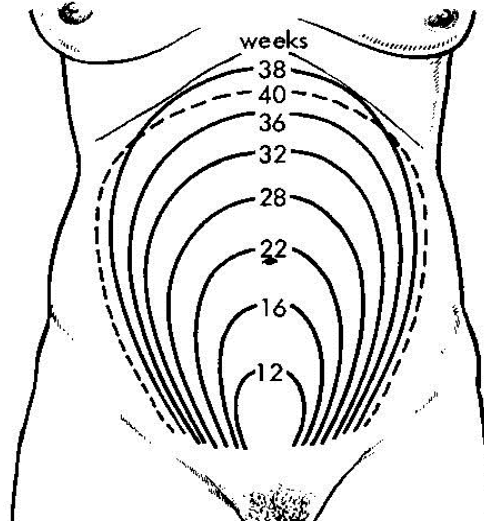
<sup>١٦</sup> أثبت العالم Jimenez و زملاؤه عام (١٩٨٣) أنّ ارتفاع قعر الرّحم عن الحافة العلويّة للعانة بين الأسبوعين الـ ٢٠ و الـ ٣١ الحملّيّين بالسنتيمترات، يُعادل العُمُر الحملّيّ للجنين.<sup>١٧</sup> و لكنّ الطّائفة أنّ تُفرَّغَ قبل القياس لأنّ المئانة الممتلئة يمكن أن تعطي قياساً أعلى بـ ٣ سنتيمترات من الارتفاع الحقيقيّ للقعر الرّحميّ في العمر الحملّيّ ما بين ١٧-٢٠ أسبوعاً. و تسمح هذه الطّريقة بتقدير العمر الحملّيّ الذي تتناسب عادةً مع مجالٍ محدّد للأوزان الجنينيّة ، و لذلك فإنّ تقدير العمر الحملّيّ المتقدّم عن التّقدير المعتمد على تأريخ آخر طمّث ( و لا سيّما الموثوق ) يجب أن يوحى بزيادة حجم الجنين.

### • المقارنة بين ارتفاع القعر الرّحميّ و نقاطٍ تشريحيّة ثابتة:

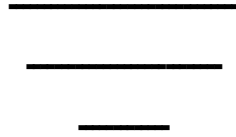
<sup>١٨</sup> قد تعطي مقارنة مستوى القعر الرّحميّ مع بعض النقاط التشريحيّة الثابتة على بطن الحامل صورةً تقريبيّةً عن سنّ الحمل. فإذا وصل قعر الرّحم مثلاً إلى السُّرة، يكون الحمل ما بين الأسبوعين ٢٢-٢٤ ، بينما يكون الحمل ما بين الأسبوعين ١٤-١٦ عندما يصل قعر الرّحم إلى منتصف المسافة بين السُّرة و العانة ، في حين يكون الحمل ما بين الأسبوعين ٢٨-٣٠ عندما يقع قعر الرّحم في منتصف المسافة بين السُّرة و الرّهاية.

أما إذا بلغ القعر الرّحميّ مستوى الرّهاية، فيكون الحمل في الأسبوع السّادس و الثّلاثين. و يعود قعر الرّحم إلى الهبوط قليلاً في أسبوع الحمل الأربعين.





الشكل (٧) يبيّن علاقة ارتفاع قعر الرحم مع النقاط التشريحية لبطن الأم الحامل في تحديد العمر الحملي



### الفصل الثالث:

## توقع العمر الحملي بواسطة التصوير بالأمواج فوق الصوتية

<sup>١٩</sup> يُعتبر الصدى طريقة غير مؤلمة، و غير غازية، و غير مكلفة، و ظاهرياً غير مؤذية. و لكن، على الرغم من أهميته في تقدير العمر الحملي و وزن الجنين، هناك بعض العوائق التي قد تعترض هذه التقنية و منها مثلاً: بدانة الأم (obesity)، و الوضع الأمامي للمشيمة (anterior lie of the placenta)، و الشحّ السّلوِيّ (oligohydramenious).  
<sup>٢٠</sup> يتم تقييم عمر الجنين داخل الرحم باستخدام عدة مقاييس جنينية أهمّها:

### ١. حجم الكيس الحملي (Gestational sac):

يُصبح الجنين مُغطىً بشكل كاملٍ بالغشاء القطني في اليوم التاسع بعد الإخصاب (الأسبوع الثاني لثمن الحمل)، و يُمكن أن يُميز الغصّ الخبير في وقتٍ باكراً جلاً أكياساً

حملية صغيرة أو تسمكاتٍ صدوية موضوعة في البطانة الرحمية في موقع التعشيش , و يُسمى هذا المظهر الصدوي بالعلامة داخل السَّاقطية Intradecidual Sign , أمّا الكيس الحملّي الباكر فهو يتميّز بمظهر الحلقة الصدوية المضاعفة (التي تنتج عن السَّقط المحفّظي و السَّقاط الجداري ) , و يظهر الكيس الحملّي بشكلٍ إهليلجيّ في المستوى السهمي , بينما يأخذ المظهر الدائريّ في المستوى الإكليليّ .

<sup>٢١</sup> { تفيد صفات الكيس الحملّي الباكر المشاهد داخل الرّحم في تمييزه عن الكيس الكاذب Psudo-sac الذي ينجم عن التّرف البطنيّ الثّانويّ في ١٠% من الحمل الهاجرة , و يتميّز الكيس الحملّي السّويّ بالحلقة الصدوية المضاعفة Double sac sign , و وجود الكيس المحيّ , و وجود التغيّرات الوعائيّة الموضوعة المحيطة بالكيس الحقيقيّ والتي تشمل المظهر الحارّ Warm appearance على الإيكو دوبلر و التدفق الشريانيّ عالي السّرعة High { velocity arterial flow

تعتبر صورة الكيس الحملّي في الرّحم علامةً موثوقةً للحياة الجنينيّة , و يظهر الكيس الحملّي كمنطقة ناقصة الطّوى عادةً تتوضّع على الخطّ المتوسّط لرحم بشكلٍ متوافق مع الخطّ الصدويّ الكثيف للبطانة الرّحميّة , و يُمكن رؤيته باكراً في الأسبوع الخامس من الحمل. و يُعوّ العلماء عن العلاقة بين تشخيص الحمل باكراً عبر عيار الـ  $\beta$ -HCG و عبر قياس حجم الكيس الحملّي بما يُدعى بالمنطقة المميّزة Discriminatory zone (وهي مستوى الـ  $\beta$ -HCG الذي يجب أن يُشاهد عنده الكيس الحملّي داخل الرّحم صدويّاً ) , التي انخفضت من ٦٥٠٠ ميلي وحدة دولية/مل للإيكو البطنيّ , و ١٨٠٠ ميلي وحدة دولية/مل للإيكو المهبلّي في ثمانينيّ القرن الماضي, حدّى ٣٠٠٠ ميلي وحدة دولية/مل للإيكو البطنيّ , و ١٠٠٠ ميلي وحدة دولية/مل للإيكو المهبلّي اليوم .

<sup>٢٢</sup> لتقدير حجم الكيس الحملّي , يجب قياسُ الأقطار بالمستوى السهميّ و المستوى الرضقيّ و الحصول على الأبعاد الأكبر للكيس , و كلّ مقطعٍ يجبُ أن يكون متعامداً مع الآخر. و قد قدّم Nyberg و رفاقه عام ١٩٨٦ تقريراً بأنّ قطر الكيس الحملّي المتوسّط المساوي لـ ٥ ملم يتوافق مع اليوم ٣٥ من العمر الطّميّ للحمل , <sup>٢٣</sup> و سجّل Goldstein و زملاؤه أنّ الدّسبة السّوية لنموّ الكيس الحملّي خلال النّثلث الأوّل من الحمل تقدّر بمعدّل ٠,١ سم/ اليوم , و قد شوهد الجنين صدويّاً أبكر ما يُمكن عندما وصل القطر المتوسّط للكيس

الحملِيّ إلى ١٠ ملم , بينما شذّصت ضربات القلب الجنينيّة عندما كان القطر المتوسّط للكيس الحملِيّ ٣ سم , و لوحظت حركات الجنين عندما وصل قياس الكيس المدّيّ إلى ٣ سم.

## ٢. أبعاد الكيس المدّيّ Yolk sac dimension:

<sup>٢٤</sup> يتشكّل الكيس المدّيّ الأوّلِيّ من الجوف الجنينيّ الخارجِيّ , ثمّ ينضغط هذا الأخير و ينبثق يخلّو الخارج مُشكّلاً الكيس المدّيّ الثّانويّ في حوالي اليوم ٢٧ - ٢٨ من عمر الحمل الطّميّ .

تطوّر الكيس المدّيّ الثّانويّ القرص الجنينيّ ثلاثيّ الصّفجات و ينقسم إلى قسمين منفصلين, يُصبح أحدهما البطانة المُعدّة للسّيل المعديّ المعويّ , بينما ينبثق القسم الآخر من جسم الجنين و يبقى مُتصلاً مع بطن الجنين عبر القناة المديّة .

يحاط الجنين عادةً بالغشاء الأمنيوسيّ بينما يتوضّع الكيس المدّيّ و القناة المديّة في المسافة السّملة خارج الأمنيون ( السّلي ) , و يتشكّل الكيس المدّيّ الثّانويّ عندما يكون القطر الوسطيّ للكيس الحملِيّ حوالي ٣ ملم , و يتوضّع الكيس المدّيّ فيما بعد بين الأمنيون و الكوريون, و يأخذ مظهراً و صفيّاً كبنية شبه حلقيّة لامعة من دون أصداء داخلية عندما يكون القطر المتوسّط للكيس الحملِيّ المُعدّل بين الأقطار الثّلاثة للكيس الحملِيّ الطّولانيّ و الأماميّ الخلفيّ و المعترض ( ١ سم تقريباً).

يُمكن مشاهدة الكيس المدّيّ صدويّاً بشكلٍ باكر في الأسبوع الحملِيّ الخامس, حيث يكون قطره حوالي ٢ ملم , و لا يعود مرئياً اعتباراً من نهاية الأسبوع الحملِيّ الثّاني عشر, بعد أن يبلغ قطراً أعظميّاً يصل إلى ١ ملم. و لتقدير حجم الكيس المدّيّ يجب أن تُنجز القياسات بالقطر الأماميّ الخلفيّ , و من الحاقّة الخارجيّة إلى الحاقّة الخارجيّة للكيس.

## ٣. القياس القمّيّ العجزيّ ( CRL ) Grown-Rump length:

<sup>٢٥</sup> قدّم العالم روبنسون Robinson القياس الصّدويّ للطول القمّيّ العجزيّ في الثّالث الأوّل من الحمل عام ١٩٧٣ م , و استنتج المنحنى الطّبيعيّ لهذا القياس بين الأسبوع السّادس و الأسبوع الرابع عشر من الحمل بدقّة يصل الخطأ المعياريّ فيه إلى  $\pm ٣$  أيّام.

و قد أثبت روبنسون و رفاقه إمكانية حساب عمر الجنين مع خطأ معياريّ  $\pm ٧,٤$  أيّام عبر قياسٍ مفردٍ للـ CRL , و عند استخدام الـ CRL مع القطر بين الجداريّين BPD في الثّالث الأوّل من الحمل للتّنبؤ بعمر الحمل تحسّنت الدقّة ليُصبح الارتياح  $\pm ٣,٩$  أيّام في ٩٥% من الحالات.

وَيبدو أن الطول القمّي العجزي مُستقرٌ بيولوجيًا ( التّوَع الحيويّ لهذا القياس محدود ), ويُقدّم نتائج موثوقة, و لم يجد العالم Drumm و مساعدوه عام ١٩٨٢ أي تأثيرٍ والديّ في هذا القياس الجنينيّ.

يكون الطول القمّي العجزيّ عند الإناث أصغر قليلاً منه عند الذّكور , كما يكون هذا الطّول أقلّ من السّويقيّ الحمل المبكّر عند الأمّ السّكريّة , أو الحمل المهدّدة بالإجهاض , كما سجّل الباحثون نتائج مشابهة في الثّلاث الحملّيّ الأوّل عند الأجنّة ذوي الشّدوات الصّبغيّة. يُعتبر حاليّ قياس الطّول القمّيّ العجزيّ المُنجز جيّداً في الثّلاث الحملّيّ الأوّل دقيّقا , و تعادل دقّه على الأقلّ دقّة قياس القطر بين الجداريّين المُنجز . في المراحل المبكّرة من الثّلاث الحملّيّ الثّاني , و يُعتقد أنّ ضربات القلب الجنينيّة يجب أن تكون مرنيّة صدويّا عند قياس الـ CRL الموافق لـ هلم , و أنّه مع قياس الـ CRL معادل لـ ١٥ ملم أو أكثر تكون حركات جسم الجنين مرنيّة.

#### ٤. القطر بين الجداريّين ( BPD ) Biparietal Diameter:

يُمكن قياس القطر بين الجداريّين بالأمواج فائقة الصوت اعتباراً من نهاية الثّلاث الأوّل للحمل و خلال الثّلاثيّ الثّاني والثّالث منه. و على الرّغم من أنّ هذا القياس يُعتبر الأكثر تداولاً بين المولّدين و الشّعاعيّين , بعد أيضاً الأكثر عرضةً للتّناقض و الشّكّ.

<sup>٢٧</sup> يعتقد Hadlock و آخرون من العلماء أنّ المقطع السّهميّ لقياس القطر بين الجداريّين كان الاختيار الصدويّ الأنسب لأنّ القطر المعترض للرأس الجنينيّ يكون أعظميّاً في هذا المستوى الذي يحتوي إضافةً لذلك على نقاطٍ تشريحيّة نوعيّة تجعل قياس الـ BPD سهل الإجراء و قابلاً للتكرار بدون أيّة صعوباتٍ تذكر , كما يُتيح هذا المقطع المأخوذ دراسة و تقييم البنى المهمّة داخل القحف خلال القياس.

يجب أن يُرى رأس الجنين بالمستوى المحوريّ بزاوية مقدارها ١٥ - ٢٥ درجة عن الأفق , و يجب أن تتضمّن الصّورة الصدويّة كامل القحف الذي يأخذ الشّكل البيضيّ في أثناء المسح , أمّا التّشريح الصدويّ لمحتويات القحف فيجب أن تُضمّن المشول المذّيّ و التراكيب و البنى الدّماغيّة للحفرة القحفية الأماميّة و الخلفيّة.

يظهر المهاد في هذا المقطع كمنطقتين مثلثيّتين عديمتي الصّدى في القسم المتوسّط , و يظهر في القسم الأماميّ من الرّأس الحاجز الشّفاف كخطّين متوازيين قصيرين.

ويجب أن يُشاهد البطين الثالث بين جزئي المهاد بمظهر يشبه الكوة المستطيلة , كما يُمكن أيضاً تحديد المظهر العرضي لفتاة سلفيوس. بينما يظهر تلفيف حصين البحر كمسافة دائرية تتحدّد أنسلياً بالصّهرج المحيط على جانبي المهاد , و وحشلياً يتحدّد بأذينة البطين الجانبيّ .

من المُمكن أيضاً رؤية القرن الجبهيّ للبطينات الجانبيّة الذي ينفصلُ بالحاجز الشّفاف , كما يُمكن رؤية نبضان الشريان المخيّ المتوسّطي شقّ سلفيوس. يُمكن الحصول على اقياس الدّقيق للقطر بين الجداريّين بتحديد المسافة بين الحافة الخارجيّة للعظم الجداريّ القريب من المجسّ Probe, والحافة الداخليّة للعظم الجداريّ الآخر البعيد عن المجسّ .

تعتمد متغيّرات الفحص الصّدويّ على بعض المعايير المتعلّقة بوضعيّة الجنين و حرّكه , وكميّة السّئل السّلويّ المحيط به , و وضوحيّة الجهاز المستخدم , و خبرة الفاحص.

<sup>٢٨</sup> درس العالم كامبل Campell عام ١٩٦٩ فائدة قياس القطر بين الجداريّين في تحديد العمر الحملّي , و أكّد وجود علاقة خطيّة بين الـ BPD عمر الحمل بين الأسبوعين الـ ٢٠ و الـ ٣٠ من الحمل , و قد استطاع بناءً على ذلك التنبؤ بالعمر الحملّي الصّحيح بارتياح لا يتجاوز  $\pm 9$  أيّام في ٩٥% من الحمول المدروسة ( و هذا يعكس قابليّة التّغيّر الحيويّة المحدودة في هذا الوقت من الحمل ).

<sup>٢٩</sup> أمّا العالم Sabbagha و رفاقه فقد درسوا الاختلافات الحاصلة في العمر المتوقّع للحمل بناءً على قياسات الـ BPD, و لاحظوا أنّ القياس المفرد للقطر بين الجداريّين و المنجز بعد الأسبوع السّلس و العشرين من الحمل يُفسّر بحذرٍ لأنّ دقته التنبؤيّة تحمل خطأً معيارياً يصلُ إلى الأسبوعين في ٨٠% من الحمول السّويّة تقريباً , و إلى أكثر من ٣ أسابيع في الـ ٢٠% الباقية من الحمول.

راجع Kurtz و زملاء له عام ٢٠٠٢ سبع عشرة ٧ دراسة تتعلّق بالتّقدير الدّقيق لعمر الحمل اعتماداً على قياس الـ BPD ( تضمّنت ٦ دراساتٍ أُجريت بالـ A-mode و ٧ دراساتٍ مُجرّاة بالـ B-mode , و ٤ دراساتٍ تُشارك بين نموذجي المسح ) , و أظهر تحليلهم البعيد هذا زيادة القطر بين الجداريّين بزيادة العمر الحملّي مع اختلاف يُقدّر بأسبوعين فقط قبل القياس المساوي لـ ٣٥ ملم , بينما يصل الاختلاف إلى أكثر من ٣ أسابيع عندما يكون قياس الـ

BPD بين ٣٦ ملم و ٨٠ ملم ( ما يوافق الأسبوعين ١٧ - ٣٢ الحملين ) , و يبلغ هذا الاختلاف أكثر من ٤ أسابيع عندما يتجاوز القطر بين الجداريين ٨١ ملم.

اختبر Hadlock و آخرون العلاقة بين القطر بين الجداريين و العمر الطّميّ باستعمال المسح بالزّمن الحقيقيّ المجسّ الخطّيّ و لاحظوا أيضاً أنّ التّغيّر المرافق للتّنبؤ بالعمر الطّميّ اعتماداً على الـ BPD يزداد بتقدّم الحمل, و كان التّغيّر الأعظميّ بين الأسبوعين ٣٦ - ٤٢ و بمعدّل  $3.6 \pm$  أسابيع. و قد اعتبر Shepard و Filly أنّ التّغيّر في قياسات القطر بين الجداريين ناجم عن التّغيّر البيولوجيّ في معدّلات التّلدّم الجنينيّ أكثر من كونه ناجماً عن الأخطاء التقنيّة.

٣٠ يؤكّد كامبل و رفاقه أنّ القطر بين الجداريين هو أفضل معيار مفرد للتّنبؤ بالعمر الحملّيّ عندما يؤخذ قبل الأسبوع الـ ١٨, و قد وجد هؤلاء الباحثون أيضاً أنّ قياسات الـ BPD المنجزة بين الأسبوعين الحملّين ١٢ و ١٨ كانت أكثر دقّة بشكل واضح في تقدير عمر الجنين داخل الرّحم ( ٩٤,٤ % ) من تلك المعتمدة على القصّة الطّميّة - LMP - ( ٦٩,٧ % ).

و قد خلصت معظم الدّراسات إلى أنّ أفضل وقت لإجراء القياسات الرّأسيّة صدويّاً هو بين الأسبوعين الحملّين ١٢ - ١٨, و أنّ الـ BPD يُعتبر في هذه الحالة مؤشّراً موثوقاً على عمر الحمل و أنّ دقّته خلال التّثلث لثانيّ للحمل تكون عالية و لا يتجاوز الخطأ المعياريّ فيه ١ - ١,٥ أسبوع , بينما تكون هذه الدّقة أقلّ في التّثلث لثانيّ الـ ١٨ إلى ٣٠ أسبوع.

Gestational Age (wk)	Biparietal Diameter (mm)				
	10	25	50	75	90
15	30	31	33	34	35
16	34	34	35	36	38
17	36	37	38	40	43
18	38	40	42	43	44
19	42	43	45	46	48
20	45	46	47	48	53
21	48	49	50	52	57
22	50	51	53	54	55
23	53	54	56	58	60
24	56	59	60	61	64
25	61	61	63	66	68
26	63	64	65	66	67
27	64	67	68	69	70
28	68	69	70	71	72
29	71	72	74	76	79
30	72	74	75	75	79
31	75	78	76	81	84
32	75	78	80	81	83
33	80	80	81	82	87
34	81	82	84	86	91
35	78	83	87	89	93
36	84	85	88	89	91
37	87	87	89	92	92
38	87	87	90	93	94
39	92	92	92	92	92

الجدول رقم (١) يبيّن علاقة قياس القطر بين الجداريّين مع العمر الحملّي

#### ٥. القطر القفويّ الجبهيّ ( OFD ) Occipital-frontal Diameter :

<sup>٣١</sup> يُمكن قياس القطر القفويّ الجبهيّ في نفس المستوى المستخدم لقياس القطر بين الجداريّين ( يُرى رأس الجنين بالمستوى المحوريّ بزاوية مقدارها ١٥ - ٢٥ درجة عن الأفق و يحتوي المقطع على المهاد و الحاجز الشدّاف و البطين الثّالث ) و حيث يُقاس البعد بين المستوى الأوسط للعظم القفويّ و المستوى الصدّويّ الأوسط للعظم الجبهيّ .  
تمتلك معظم أجهزة الإيكوغرافي دقّة محوريّة متشابهة، ولكنّها قد تختلف في دقّتها الجانبيّة ، و تكون الدقّة الأماميّة الخلفيّة أقلّ من ٢ ملم في معظم الأجهزة ، والدقّة الجانبيّة أقلّ من ٣ - ٥ ملم.

#### ٦. محيط الرّأس ( HC ) Head Circumference :

<sup>٣٢</sup> يُعتبر محيط الرّأس قياساً مهماً لتقييم نمو الرّأس عند حديثي الولادة ، و له أهميّة أيضاً في تقييم حجم رأس الجنين في أثناء الحياة الرّحميّة.  
يُعدّ قياس محيط الرّأس أساسيّاً في حالات صغر الرّأس أو تأخّر النّموّ داخل الرّحم، و المستوى التّشريحيّ الصدّويّ الخاصّ بمحيط الرّأس هو نفسه للقطر بين

الجداريين و القطر القفوي الجبهيّ , و يُحسب هذا المحيط إمّا مباشرة و إمّا من العلاقة التّالية  
الّتي وضعها Steer بصورتها التّهابيّة عام ١٩٩٩:

$$HC = (BPD+OFD) \times 1,57$$

Gestational Age (Wk)	Mean	2 SD
13	7.8	1.4
14	10.9	1.6
15	12.0	1.2
16	13.0	1.2
17	14.2	1.4
18	15.4	1.4
19	16.2	1.8
20	17.2	3.2
21	17.5	3.4
22	19.4	1.6
23	20.6	2.0
24	21.8	2.0
25	22.8	2.6
26	23.5	2.4
27	25.5	4.6
28	25.8	2.2
29	27.1	2.8
30	27.8	2.2
31	28.5	3.0
32	29.4	2.2
33	30.0	2.4
34	31.3	2.8
35	31.2	3.4
36	32.2	2.6
37	32.5	2.6
38	33.1	3.0
39	32.1	4.0
40	33.6	2.2
41	33.3	2.4
42	32.9	2.4

الجدول رقم (٢) يبيّن علاقة محيط الرّأس الجنينيّ مع العمر الحملّيّ

#### ٧. المشعر الرّأسيّ (Cephalic Index ( CI):

<sup>٣٣</sup> يمتلك الأجنّة ذوو المجيء المقعديّ معدلات BPD أقلّ إذا ما قورنت مع قياسات حديثي الولادة ذوي المجيء القمّيّ , وهذا الانخفاض في معدّل قياسات الـ BPD كان نتيجة للشوّه الخفيف في شكل الرّأس عند الأجنّة بالمجيء المقعديّ dolichocephaly (الّذي يتميّز باستطالة الرّأس , و بروز القذاليّ , و الوجه المتطاول , و الرّأس متوازي الجانبين ).  
و في هذه الحالات يكون محيط الرّأس الجنينيّ أكثر دقّة من القطر بين الجداريين , و يُستعمل مشعر الرّأس في هذه الحالات أيضاً ليستطيع الفحص التّقرير فيما إذا كان القطر بين الجداريين سوّيّاً أو متأثراً بهذا الشوّه . و المشعر الرّأسيّ هو نسبة المحور الصّغير BPD إلى



المحور الطّويل OFD مضروبة بـ ١٠٠ , وهي العلاقة التي توصّل إليها Steer في دراسات أخرى عام ١٩٩٨.

$$CI = ( BPD / OFD ) \times 100$$

المعدّل الوسطيّ للمشعر الرّأسيّ في أثناء الحياة الرّحميّة هو ٧٨% , و يؤدّي الانحراف المعياريّ الواحد عن هذا المتوسطّ ( أقلّ من ٧٤% أو أعلى من ٨٣% ) إلى تغيّراتٍ مهمّةٍ في قياس الـ BPD في أيّ عمرٍ حمليّ. و يُعدّ الرّأس متطاولاً إذا كان المشعر الرّأسيّ أقلّ من ٧٤% , و قصيراً إذا كان المشعر الرّأسيّ أعلى من ٨٣%.

### ٨. محيط البطن ( AC ) :Abdominal circumference

<sup>٣٤</sup> يُعتبر قياس محيط البطن المحسوب صدويّاً أحد المعايير الأساسيّة للتّنبؤ بوزن الجنين و تقييم نموّه و متابعة حالات الحبن الجنينيّ.

قد تؤثر بعض حالات المرض الوالديّة في قياس محيط البطن الجنينيّ كالسكري الوالديّ , و ارتفاع التّوتر النّمويّ الشّرانيّ المُحدث بالحمل , و اعتلالات الأوعية الوالديّة. و يُضيف قياس محيط البطن بعداً آخر لتفسير الدّمويّ الرّأسيّ و هو مفيدٌ بشكلٍ خاصّ لتحديد الأجنّة المصابة بتأخّر الدّمويّ أو العرطلة الجنينيّة.

يُعدّ محيط البطن الجنينيّ قياساً صدويّاً صعباً بسبب حركات الجسم و التّنفّس الجنينيّ الّتي تحدث في أثناء الفحص الصدويّ , و مع ذلك يُعتبر القياس الدّقيق لمحيط البطن ضروريّاً كونه يُستخدم جزءاً من معادلاتٍ متنوّعة لتقدير وزن الجنين.

للحصول على القياس الأمثل لمحيط البطن الجنينيّ يُكشف العمود الفقريّ بالمستوى الطّولانيّ ثمّ يوضع المجسّ عمودياً على هذا المستوى, و يُمرّر إلى الأسفل حتّى يُمكن رؤية كبد الجنين , و تفرّع الوريد السّريّ ( علامة الخطّاف Hook sign ) , و الفقاعة الهوائية للمعدة في المستوى نفسه .

يُعتبر الكبد أكثر الأعضاء الجنينيّة تأثراً بتغيّرات التغذية الجنينيّة, و لهذا فقد اختاره العلماء ليكون في مستوى هذا المقطع الصدويّ و يجب أن تؤخذ القياسات الحيويّة عندما لا تكون حركات الجسم و التّنفّس موجودة , و يُفضّل أن يكون العمود الفقريّ ذا توضّع خلفيّ , و أن يُشكّل البطن الجنينيّ دائرة كاملة تكون فيه أبعاد القطر الأماميّ الخلفيّ و المعترض متقاربة.

هناك تقنيتان لقياس محيط البطن:

١. باستعمال القطر الأمامي الخلفي و القطر المعترض ( طريقة Ott ) ,  
و تطبيق المعادلة التالية:

$$\text{محيط البطن} = \text{القطر الأمامي الخلفي} \times \text{القطر المعترض} \times 1,57$$

٢. برسم محيط البطن على الصورة المأخوذة أو مباشرةً على الشاشة باستعمال المقياس الإلكتروني و يجب أن يتضمن القياس الأنسجة الرخوة لبطن الجنين.

درس هادلوك و علماء آخرون محيط البطن معياراً للتنبؤ بعمر الحمل , و لاحظوا أن قابلية الفئير ( الانحراف ) كانت أعلى بوضوح من تلك الملاحظة باستخدام الـ BPD , و لاحظوا زيادة الانحراف بتقدم عمر الحمل مع ذلك و وضعت جداول لتقدير العمر الحملّي وفقاً لقياسات محيط البطن.

#### ٩. طول الفخذ ( Femur length ( FL ):

<sup>٣٥</sup> تتضمن تقنية قياس طول الفخذ أولاً تقرير وضعيّة الجنين ثم يوضع المجس في زاوية قائمة نسبة للعمود الفقري يمرر إلى الأسفل مع المحافظة على تلك الزاوية حتى النهاية السفليّة. و بما أن فخذ الجنين يكون منثنياً عادةً يدور المجس من هذه الوضعيّة من ٣٠-٤٥ درجة باتجاه البطن الجنيني حتى يصبح الطول الكامل للفخذ مرئياً.

أو يمكن أن يوضع المجس على طول النهاية لـ لا يلية للعمود الفقري الجنيني بحيث يُعطي المنظر الذموني ( سكة القطار ) الذي وصفه Campell ثم يدور المجس بزاوية ٤٥-٦٠ درجة بعيداً عن البطن حتى يرى كامل طول الفخذ.

يجب دوماً محاولة تحديد كلتا نهايتي القسم المتكلس من الفخذ , و يُنجز ذلك بشكلٍ دقيق إذا أمكن رؤية التسيج الرخو للإلية و لمفصل الركبة.

و يجب أن تحقق الوضعيّة المختارة لقياس الفخذ أيّ عظمٍ طويلٍ آخر الشروط التالية:

١. أن يكون الفخذ بوضعيّة أفقيّة نسبة للمجس ليس بتوضّع مائلٍ أو عمودي على المجس.

٢. أن يكون للفخذ توازياً للمجس مع بريقٍ صدويّ متكافئٍ على كامل طول الصورة , و تكون النهاية القريبة للفخذ قريبة للمجس , و نهاية الفخذ البعيدة بعيدة عن المجس.

٣. يجب أن تكون نهايتا الفخذ , المدور الكبير ( النهاية القريبة ) , و اللآقمة الوحشية ( النهاية البعيدة ) مرئيتين.

٤. يجب أن يرى الفخذ أقرب ما يمكن للمجسّ.

٥. يجب أن تكون نهايتا الصورة محدّتين بوضوح.

٦. يجب أن يُقاس فقط المحور الطويل لجذّل العظم, و لا يتضمّن القياس البنية المُستدّقة الرقيقة التي تعبّر عن سطح لقمتي الفخذ.

٧. يجب أن يُجرى القياس من النهاية الأولى إلى النهاية الأخرى.

يُستخم قياس طول الفخذ عادةً معياراً لتقدير نمو الحمل , و قد أكّد الباحثون استخدام قياس طول جذّل ( جسد ) العظم في هذا المجال لأنّ الخطّ الصدويّ لال مع ينجم فقط عن السطح المتكلّس لجسم العظم ).

يتناسب الطول القميّ العقبّي CRL للأجنّة المجهضة مع طول جذّل العظام الطويلة, و لذلك فقد صمّم العالم Vintzileos رفاقه مخطّطاً يربط طول الفخذ ( باعتباره القياس الأسهل بين عظام الجنين الطويلة ) بطول الجنين.

#### ١٠. طول العضد ( HL ) :Humer length

٣٦ تتضمّن تقنيّة قياس طول العضد تقرير وضعيّة الجنين أولاً ثمّ يوضع المجسّ في المستوى المحوريّ لأسّ الجنين و يُمرّر إلى الأسفل محافظاً على هذه الزاوية حتّى يظهر الكتف و الجزء العلويّ من عظم العضد , و بما أنّ العضد عادة ما يكون موازياً للصدّر الجنينيّ, فإنّ على الفحص أن يُدير المجسّ بزاوية ٣٠-٤٥ درجة حتّى يرى رأس العضد ثمّ يُمرّر المجسّ باتجاه رأس الجنين حتّى يصبح رأس العضد مرئياً أيضاً , و هنا يُدير المجسّ ٤٥-٦٠ درجة, و حالما يصير كامل العضد مكشوفاً صدوياً يقوم الفاحص بتعيين نهايتي الجزء المتكلّس { يُنجز هذا بشكلٍ دقيقٍ إذا كان النسيج الرّخولكتف و المرفق مرئياً أيضاً , و العضد أفقيّاً التوضع و موازياً للمجسّ }.

#### ١١. طول الظنوب ( TL ) :Tibia length

يُمكن للفاحص بعد إتمام قياس طول عظم الظنوب أن يُمرّر المجسّ باتجاه الجزء السفليّ من الطرف باتجاه الرّكبة الجنينيّة, و عندما يظهر الظنوب تحدّد نهايتاه المتعظّتان.

#### ١٢. طول الترقوة ( CL ) :Clavicle length

<sup>٣٨</sup> يُعتبر نموّ ترقوة الجنين خطيًّا خلال الحمل ( كما هي الحال في نموّ القطر بين الجداريين و طول الفخذ ) و هذا يجعله من القياسات البيولوجية الأكثر موثوقية للتنبؤ بعمر الحمل , و لا سيميلتوفر أجهزة التصوير بالزمن الحقيقي Real-time التي تؤمن سهولة هذه القياسات .

أوضح Queenan و رفاقه عام ٢٠٠١ أنّ نموّ كلّ عظام الأطراف كان نموًّا خطيًّا بين الأسبوعين ١٢ - ٢٠ من الحمل , و أنّ هذه العلاقة الخطيّة للّموّ تبقى ثابتة في حالة عظم الفخذ الجنيني حتّى الأسبوع الحامليّ الـ ( مع اختلافٍ بمعدّل أسبوعٍ واحدٍ تقريباً بين الأسابيع الحامليّة ١٢ - ٢٣ ) . بينما أكّد Hadlock و مساعداؤه العلاقة بين طول الفخذ و عمر الحمل بالأسابيع ( بين الأسبوعين ١٢ - ٤٠ ) هي علاقة غير خطيّة , و أنّ قابليّة التغيّر ( الارتياح ) هي  $9.5 \pm$  أيّام بين الأسبوعين ١٢ و ٢٣ , و تصل إلى  $22 \pm$  يومًا بين الأسبوعين ٢٣ و ٤٠ من الحمل .

درس Jeanty رفاقه قياسات أطوال العظام للتنبؤ بعمر الحمل , و أوضحوا أنّ معدّل الانحرافات المعيارية ( مقدّرة بالأسابيع ) كانت للفخذ و العضد و الزنوب على التوالي كما يلي: ١,٣ , ١,٦ , ١,٧ .

أمّا Queenan فاستنتج أنّ معدّل نموّ أطراف الجنين بين الأسبوعين الحامليّين ١٢ و ٢٢ يتراوح بين ٢,٥ و ٣ ملم / الأسبوع , و أنّ الفخذ يبدأ بالنموّ بسرعة تصل إلى ٣,١٥ ملم / الأسبوع , ثمّ تتناقص هذه السرعة ببطءٍ إلى ١,٥٥ ملم / الأسبوع عند الأسبوع الحامليّ الـ ٤٠ .

### ١٣. القطر بين الحجاجين:

<sup>٣٩</sup> يسمح تحديد الحجاجين الجنينيين صدويًّا بتشخيص الحالات التي تترافق مع قصر المسافة بينهما ( كحالة الدماغ الأمامي الكامل ) , و زيادة المسافة بينهما ( كمتلازمة الهيدانتوين الجنينيّ ) لأنّ هذه الحالات كثيرًا متلوّدة في أقطار الحجاج الداخليّة و الخارجيّة .

يكون القياس المعياريّ لتحديد العمر الحامليّ BPD غير مُمكن عندما يكون رأس الجنين متوجّهًا مباشرة إلى الأعلى أو الأسفل , بينما يُمكن تحديد الحجاجين و قياسهما عندما يكون الرأس في الوضع القذاليّ الخلفي بدلًا من قياسات القطر بين الجداريين .

يُقاس القطر الحجاجي الخارجي من الحافة الوحشية للحجاج إلى الحافة الوحشية المقابلة , و يُقاس القطر الحجاجي الداخلي من الحافة الأنسية للحجاج إلى الحافة الأنسية المقابلة. و هناك مستويان مختلفان لقياس الحجاجين بالمنظر الجبهية موضع كذالي معترض: \*

\* المستوى الإكليلي.

\* المستوى الحجاجي الدماغي ( أسفل مستوى قياس القطر بين الجداريين ).  
و يُمكن تقدير عمر الحمل بعد ذلك بالمقارنة بالجدول المعيارية.

#### ١٤. قياس محيط العنق الجنيني :The Fetal Neck Circumference

<sup>٤٠</sup> توصي الجمعية الأمريكية للطببة للأمواج فائقة الصوت بإجراء فحص العمود القري الرقبى عند الجنين خلال الثلثين الثاني والثالث من الحمل.  
و قد وجد Hata و آخرون عام ١٩٨٨ بدراسة العنق الجنيني صدويًا علاقة خطية بين محيط عنق الجنين و عمر الحمل. و لقياس محيط العنق يؤخذ القياس من الحافة الخارجية إلى الحافة الخارجية Outer-to-outer Margins, و يُعتبر التقييم الصدوي لعنق الجنين و تحديد محيطه مفيداً بصورة خاصة في حالات الأم السكرية ( إذ قد يُلاحظ التوضع المفرط للنسيج الشحمي ).

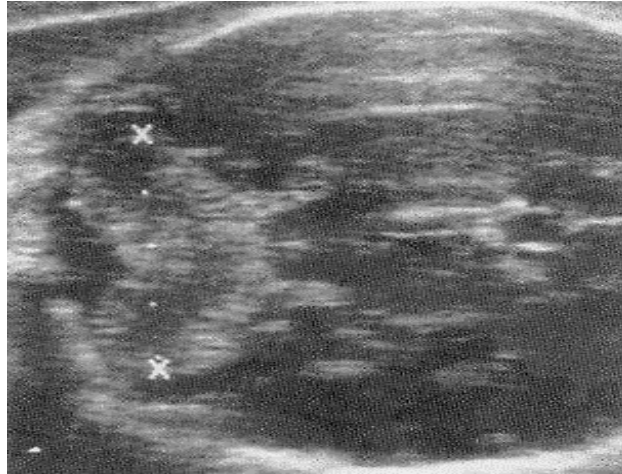
#### ١٥. قياس القطر عبر المخيخ ( TCD ) :Trans-Cerebellar Diameter

<sup>٤١</sup> كان العالم غولدشتاين وزملاؤه أول من وصف قياس القطر عبر المخيخ لتقييم العمر الحمل صدويًا و ذلك عام ١٩٨٧ , و قد وضعوا نتائج قياساتهم في جداول تبين قياس القطر عبر المخيخ السوي للموافق لكل عمر حملي لكنهم لم يتمكنوا من استنتاج المعادلة الخاصة باستنتاج لعلاقة بين المتغيرين أو الانحراف المعياري المقبول لهذا القياس , <sup>٤٢</sup> و لم يكتسب استخدام قياس القطر عبر المخيخ القيمة العلمية الحالية إلا بعد نشر نتائج بحث مالبيك و رفاقه ( ٢٠٠٣ ) الذي حدّدوا معادلة حساب الوزن الجنيني بالاعتماد على القطر عبر المخيخ , و معادلة حساب الانحراف المعياري الموافق لكل قياس , و أشاروا إلى الأشكال الصدوية الثلاثة للمخيخ الجنيني ( كما سيرد لاحقاً ).

أما اليوم فقد أصبح هذا القياس ضروريًا و لا سيمقي حالات الشك بتحدّد النمو الجنيني داخل الرحم, أو بهدف نفي أو تأكيد الشك بتناذر داون أو الأمراض الوراثية الأخرى التي تسبب عيوباً في محتويات الحفرة الخلفية للقحف.

- <sup>٤٣</sup> يُمكن بسهولة تعيين الحفرة الخلفية بالمسح تحت القفوي - اليافوشي , و تتوضّع البنى التشريحية التالية في الحفرة الخلفية للقحف:
- \* المخيخ ( نصف الكرة المخيخية ).
  - \* الدودة المخيخية.
  - \* الصّهرج الكبير.
  - \* البطين الرابع (الذي يبدو في مستوى أخفض قليلاً من السّابق و يتوضّع خلفياً بالنسبة للدودة المخيخية ).

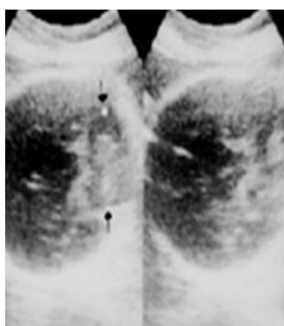
الشكل رقم (٨)  
يسّذن مستوى  
المقطع الصدوي  
للقطر عبر  
المخيخ  
تُشير العلامتان  
x إلى حافتَي  
القياس



يُمكن رؤية المخيخ بالأمواج فوق الصّدويّة اعتباراً من الأسبوع العاشر للحمل , إذ يظهر على شكل منطقتين مدوّرتين متوسطتي الصّدويّة ثمّ يتوضّع الصّهرج الكبير بين المخيخ و العظم القفوي ( مما يُعطي منطقةً منجليّة الشّدكل شفافة صدويّاً ) , و تصبح بذلك محتويات الحفرة القحفية الخلفيّة كبيرة بشكلٍ كافٍ للتّقييم الصّدويّ الشّدكليّ المفصّل اعتباراً من الأسبوع الـ ١٨ , <sup>٤٤</sup> و يختلف الشّدكل الصّدويّ للمخيخ مع تقدّم العمر الحملّيّ للجنين داخل الرّحم إذ يمرّ في ثلاث مراحل من الطّور الشّدكليّ الصّدويّ في أثناء الحمل:

• الدرجة I: يأخذ نصف الكرة المخيخية شكلاً كرويّاً كيسيّاً , و تكون الدودة المخيخية غير ظاهرة صدويّاً , و يتناسب هذا الشّدكل مع عمر الـ ٢٠ أسبوعاً حمليّاً ( وسطياً ١٦ - ٢٣ أسبوعاً ) , و فيه يبلغ الانحراف في تقدير العمر الحملّيّ بالاعتماد على الـ TCD حوالي ٦ أيّام عن العمر الحملّيّ الوسطيّ.

- **الدرجة II:** يأخذ نصف الكرة المخيخي شكلاً جرسياً تقريباً مع حواف عالية الصدوية، وتكون الدودة المخيخية ذات مظهر صدوي مستطيلي واصله بين نصفي الكرة المخيخية، ويتناسب هذا الشكل مع عمر الـ ٣٠ أسبوعاً حملياً (وسطياً ٢٤ - ٣٢ أسبوعاً)، وفيه يبلغ الانحراف ٣ أيام فقط عن العمر الحملّي الوسطي.
- **الدرجة III:** يأخذ نصف الكرة المخيخية شكلاً مثلثياً، وتكون متجانسة صدوياً مظهر أكثر صلابة، ويتناسب هذا الشكل مع عمر أكثر من الـ ٣٢ أسبوعاً حملياً (وسطياً ٣٦ أسبوعاً)، وفيه يبلغ الانحراف ٥ أيام عن العمر الحملّي الوسطي.



الشكل الصدوي للمخ

من الدرجة III



الشكل الصدوي للمخ

من الدرجة II



الشكل الصدوي للمخ

من الدرجة I

لا

لإجراء الفحص المثاليّ يُقيم القطر عبر المخيخ يجب أن يُوضع المجسُّ محوريّاً على قاعدة الجمجمة الجنينية ثمّ يدور خلفياً حتّى يظهر نصف الكرة المخيخية، ويُعتبر المخيخ أسهلّ البنى كشفاً بالصدويّ ويُمكن رؤيته خلال كلّ مراحل الحمل (و لكن أفضل ما يُمكن قبل الدّ لثالثّ الـ ٣٠). ويُمكن الحصول على أقطار المخيخ المعترضة عندئذٍ بتحديد الحاجز الشّقيّاف و البطين الدّ لثالثّ ثمّ تدوير المجسُّ للوصول إلى أسفل مستوى المهادين، و تقاس المسافة من الحافة الخارجيّة إلى الحافة الخارجيّة للقطر المعترض الأعظم للمخيخ.

يُشير الدّ قويم الصدويّ للمخيخ إلى وجود علاقة خطيّة بين القطر المعترض و العمر الحملّيّ خلال الدّ لثالثّ الثاني من الحمل، إذ تكون قياسات الـ TCD بالمليمتر مساوية لعمر الحملّ بالأسابيع (تبقى هذه العلاقة صحيحة عندما يكون المخيخ في الدّ رجة الأولى من الطّور ر

الشكليّ الصدويّ أي بين الأسبوعين ١٦ - ٢٣). أمّا في مراحل النّموّ المتأخّرة فلا يتطابق منحنيّ النّموّ الجنينيّ مع هذه العلاقة و يتطلّب حساب العمر الحملّي تطبيق المعادلة التّالية:

بينما يُحدّد الانحراف المعياري SD عن القياس الوسطي بالمعادلة التّالية:

$$GA (SD) = 1,713 - 1,304(TCD) + 0,567(TCD)^2 - 0,067(TCD)^3$$

<sup>٤٥</sup> يعتقد العلماء اليوم أنّ قياس القطر عبر المخيخ أكثر موثوقيّة في العديد من الحالات من المعايير السّابقة ( القطر بين الجداريّين , و طول عظم الفخذ , و محيط الرّأس , و محيط البطن ) فقد وصلت موثوقيّته إلى ٩٢% , بينما كانت موثوقيّة محيط البطن ٧٨% , و موثوقيّة محيط الرّأس ٣٥% , و طول عظم الفخذ ٣٨% , أمّا القطر بين الجداريّين فلم تتجاوز موثوقيّة كمعيارٍ مفردٍ الـ ٣٢%.

Gestational Age (wk)	Percentile		
	10th	50th	90th
15	13	14	16
16	14	16	17
17	16	17	18
18	17	18	19
19	18	19	20
20	19	20	21
21	20	21	23
22	22	23	24
23	23	24	26
24	23	26	28
25	25	27	30
26	26	28	32
27	27	30	33
28	28	31	35
29	29	33	38
30	31	35	40
31	33	38	42
32	34	39	43
33	35	40	44
34	38	41	44
35	41	42	45
36	42	43	45
37	43	45	48
38	45	48	50
39	48	52	55
40	52	55	58

الجدول رقم (٣) يبيّن علاقة القطر عبر المخيخ الجنينيّ مع العمر الحملّي

\* تتمثّل الفائدة الأخرى المهمّة لقياس القطر عبر المخيخ في إمكانيّة الاستفادة من هذا القياس لتقدير تأخّر النّموّ الجنينيّ داخل الرّحم إذ تعتبر نسبة القطر عبر المخيخ الجنينيّ إلى



محيط البطن TCD/AC ثابتة تقريباً طوال فترة الحمل و تقدّر بـ )  
 $(0.0059 \pm 0.14064)$  , و تعدّ زيادة هذه النسبة عن انحرافين معياريين مؤشراً موثقاً لوجود  
 تحدّد نموّ غير متناظر داخل الرّحم Asymmetric IUGR , إذ تصل نسبة إيجابيّته الحقيقيّة  
 إلى ٩٠%.

<sup>٤٦</sup> و قد أثبتت مجموعة من العلماء الهولنديّين أنّ القياس السّويّ للقطر عبر المخيخ  
 يُظهر زيادةً أعلى من الضّعف خلال الصّف الثّاني من الحمل , بينما يُبدي ٢٦% من الولدان  
 الصّغار بالنسبة لعمر الحمل ( SGA ) قياساً منخفضاً للـ  
 TCD , و تكون نسبة الـ TCD/AC مرتفعةً لأكثر من انحرافين معياريين عند ٨٢% من  
 هؤلاء الولدان.

<sup>٤٧</sup> أما دراسة جامعة شيكاغو ( العالم Meyer و زملاؤه ) فقد أعطت نتيجةً مقارنة  
 أيضاً للنتائج المذكورة سابقاً , فقدأكّد اللّرسون أنّ النسبة المرتفعة الشاذّة للـ TCD/AC  
 تكون موجودة في ٨٧% من الولدان الصّغار بالنسبة للعمر الحملّي. و قدّ أثبت هؤلاء العلماء  
 يطيّاً أنّ هذه النسبة ثابتة و يُمكن أن تكون المعيار الصّدويّ الأمثل المستقلّ عن العمر الحملّي ,  
 و الذّي يُمكن أن يُنبئ بتحدّد نموّ الباكر داخل الرّحم.

<sup>٤٨</sup> أمّا الباحثون التايلانديون بقيادة تونغ سونغ فقد حاولوا ( في دراسة الذّنبؤ نشرت  
 مطلع عام ٢٠٠٦ ) تحديد القيمة القطعيّة لنسبة القطر عبر المخيخ على محيط البطن في بتحدّد  
 النّموّ داخل الرّحم و أجروا لذلك دراسةً واسعةً على ٧٧ حملاً لجنين صغيرٍ بالنسبة للعمر  
 الحملّي , مستخدمين منحنى المميّزات العمليّاتيّة المستلمة receiver operating  
 (ROC) characteristic curve , و قد استنتجوا أنّ القيمة القطعيّة cut-off value المثلى  
 كانت ١٥٤ , و توافقت بنسب حساسيّة , و نوعيّة , و قيم تنبؤيّة إيجابيّة و سلبيّة مساوية لـ  
 ٧٣,٢٦% , و ٨٠,٢٥% , و ٧٩,٧٥% , و ٧٣,٨٦% على الدّوالي.

<sup>٤٩</sup> أمّا مراجعة العالم ماير و زملائه في جامعة شيكاغو ( ٢٠٠٦ ) لـ ٨٢٥ حاملاً  
 منخفضات الخطورة لتغيّرات الوزن الثلثة خلال الحمل , و ٥٠ حاملاً ذوات شذوذات و زنيّة  
 جنينيّة مشوهة أو مشخّصة ( ٩٢ حاملاً بجنينٍ عرطل , و ١٥٨ حاملاً بجنينٍ متحدّد للنّمو )  
 فقد ثبّنت أنّ نسبة الـ TCD/AC تكون ثابتة في القرّة ما بين ١٤ - ٤٢ أسبوعاً حمليّاً في  
 المجموعة منخفضة الخطورة و مستقلة عن العمر الحملّي ( تساوي و سطياً  $0.1386 \pm$   
 ٠,٠٠٩٦ ) , أما زيادة هذه النسبة عن انحرافين معياريين فقد توافقت مع ٩٨% من حالات

الذمو غير المتناظر داخل الرحم asymmetrically growth-retarded infants , و مع ٧١% من حالات الذمو الجنيني المتحد المتناظر symmetrically IUGR infants.

\* يعتقد الباحثون أيضاً أن قياس القطر عبر المخيخ يمكن أن يكون مفيداً في التنبؤ بتناذر داوون داخل الرحم من خلال تشخيص الضمور المخيخي الذي يحدث باكراً في سياق هذا التناذر, ولكن ما تزال هذه الدراسات غير موثوقة و غير كافية.

٥٠ ففي دراسة Rotmensch و رفاقه (التي شملت ٤٢ جنيناً مصاباً بتناذر داوون بالمقارنة مع ١٦١ جنيناً سوي الصيغة الصبغية) تبين أن القطر عبر المخيخ أصغر بمعدل ٨٧-٠٠,٦٧ ملم في الحمول المصابة بتناذر داوون بالمقارنة مع المجموعة الشاهدة السوية ( و ذلك بفاصلة ثقة أقل من ٠,٠٠٥ و بنوعية تصل إلى ٩٥% ) ولكن الحساسية المنخفضة لهذا القياس ( ٢١% ) , و القيمة التنبؤية الإيجابية المتدنية ١,٦٦% , و الاختلاف الضئيل جطاً بين الأجنة الأسوياء و المصابين بتناذر داوون جعل قياس ال-TCD غير موثوق تماماً للتنبؤ بهذا التناذر في الثلث الحلمي الثاني.

وقد درس العالم هاشيموتو وضع جدول خاص لقيم TCD عام ٢٠٠٢ على الشكل

التالي:

Gestational age (wk)	Cerebellum (mm)				
	10	25	50	75	90
15	10	12	14	15	16
16	14	16	16	16	17
17	16	17	17	18	18
18	17	18	18	19	19
19	18	18	19	19	22
20	18	19	20	20	22
21	19	20	22	23	24
22	21	23	23	24	24
23	22	23	24	25	26
24	22	24	25	27	28
25	23	21	26	28	29
26	25	28	29	30	32
27	26	28	30	31	32
28	27	30	31	32	34
29	29	32	34	36	38
30	31	32	35	37	40
31	32	35	38	39	43
32	33	36	38	40	42
33	32	36	40	43	44
34	33	38	40	41	44
35	31	37	40	43	47
36	36	29	43	52	55
37	37	37	45	52	55
38	40	40	48	52	55

الجدول رقم (٤) يبين علاقة القطر عبر المخيخ الجنيني مع العمر الحلمي

### المراجع ( مرتبة حسب ورودها في البحث ):

- <sup>١</sup> شموط أنور: الإيكوغرافي في التوليد و أمراض النساء. دار القدس للعلوم- دمشق - يرموك , الطبعة الأولى ٢٠٠٤.
- <sup>2</sup> Schneidt et al: the safety of Obstetric ultra-sonography. International society of childhood and human development caring. 1978.
- <sup>3</sup> Kinnier-Wilson, Waterhouse: the study of mothers whose children died of cancer. London 1984.
- <sup>4</sup> Cartwright et al: the relationship between intrauterine echographical studies childhood's malignancies. 1984.
- <sup>5</sup> Stark et al: Epidemiologic long-term follow-up study of ultrasound exposed children. 1988.
- <sup>6</sup> Lyons et al: No growth difference between siblings pairs of the same sex at birth and at 6 years of age in regarding to echography studying during pregnancy. 1992.
- <sup>٧</sup> عثمان أحمد مصطفى, طالو العلي محي الدين: علم الجنين الطبي. منشورات جامعة دمشق- كلية الطب ١٩٩٤.
- <sup>8</sup> Moore kL: The developing human. WB Saunders, Philadelphia- London 1982.
- <sup>9</sup> Wendell Smith CP, Williams PL: Basic human embryology. Elbs and Pitman, London 1986.
- <sup>١٠</sup> عثمان أحمد مصطفى, طالو العلي محي الدين: علم الجنين الطبي. منشورات جامعة دمشق- كلية الطب ١٩٩٤.
- <sup>١١</sup> شموط أنور: الإيكوغرافي في التوليد و أمراض النساء. دار القدس للعلوم- دمشق - يرموك , الطبعة الأولى ٢٠٠٤.
- <sup>12</sup> Grennert et al: LMP benefit and EDD accuracy in 5468 pregnant women. Obstet Gynecol 1996.
- <sup>13</sup> Gary CF, Kenneth JL, Steven LB, John CH, Larry G, Katharine DW, Williams Obstetrics: 22nd ed, 2005.

14 Fernando Arias , practical guide to high - risk pregnancy & delivery , 4th edition 2004.

15 The Committee on Practice Bulletins--Obstetrics of the American College of Obstetricians and Gynecologists (ACOG) : Fetal macrosomia. Practice Bulletin No. 22, November 2000b

16 Jimenez JM, Tyson JE, Reisch JS: Clinical measures of gestational age in normal pregnancies. *Obstet Gynecol* 61:438, 1983

17 Worthen N, Bustillo M: Effect of urinary bladder fullness on fundal height measurements. *Am J Obstet Gynecol* 138:759, 1980

18 Bossak WS, Spellacy WN: Accuracy of estimating fetal weight by abdominal palpation .*J Reprod Med* 1997 Aug ;9(2): 58-60 .

19 Watson WJ, Soisson AP, Harlass FE: Estimated weight of the term fetus .Accuracy of ultrasound vs. clinical examination .*J Reprod Med* 1988 Apr, 33(4):369-71.

20 Shamley KT, Landon MB: Accuracy and modifying factors for ultrasonographic determination of fetal weight at term .*Obstet Gynecol* 2004 Dec 84(6):926-30.

21 Speroff L, Glass RH, Kase NG: Clinical Gynecologic Endocrinology and Infertility. 6th edition 1998

22 Nyberg DA, Filly RA, et al: Abnormal pregnancy; early diagnosis by US and serum HCG levels. *Radiology* 1986; 158:393-396.

23 Goldstein I, Zimmer EA, Tamir A, et al; Evaluation of normal gestational sac growth. *Obstet Gynecol* 1991; 77:885-888.

٢٤ شموط أنور: الإيكوغرافي في التوليد و أمراض النساء. دار القدس للعلوم- دمشق - يرموك , الطبعة الأولى ٢٠٠٤.

25 MacGregor SN, Tamura RK, Sabbagha RE, et al: Underestimation of gestational age by conventional crown-rump length dating curves. *Obstet Gynecol* 1987; 70:344.

26 Pederson JF: Fetal crown-rump length measurement by ultrasound in normal pregnancy. *Obstet Gynecol* 1982; 89:929-930.

27 Hadlock FP, Deter RL, Harris RB, et al: Fetal biparietal diameter; a critical re-evaluation of the relation to menstrual age by means of real-time ultra-sound. *Journal Ultrasound Med.* 1992; 1:97-104.

28 Cambell et al: the liner relationship between BPD and gestational age (20-30 GW). *Obstet Gynecol* 1969.

<sup>29</sup> Gary CF, Kenneth JL, Steven LB, John CH, Larry G, Katharine DW, Williams Obstetrics: 22nd ed, 2005.

<sup>30</sup> Campbell S, Warsof SL, Little D, Cooper DJ: routine ultrasound screening for the prediction of gestational age. *Obstet Gynecol* 2002 May;65(5):613.

<sup>31</sup> James DK, Steer PJ, Weiner CP, Gonik B: high risk pregnancy (Management options), second edition 1999. p 1433.

<sup>32</sup> James DK, Steer PJ, Weiner CP, Gonik B: high risk pregnancy (Management options), second edition 1999. p 1433.

<sup>33</sup> James DK, Steer PJ, Weiner CP, Gonik B: high risk pregnancy (Management options), second edition 1999. p 1433.

<sup>٣٤</sup> شموط أنور: الإيكوغرافي في التوليد و أمراض النساء. دار القدس للعلوم- دمشق - يرموك , الطبعة الأولى ٢٠٠٤.

<sup>35</sup> Jeanty P, Rodesch F, Delbeke d, et al: Estimation of gestational age from measurements of fetal long bones. *Journal Ultrasound Med.* 1989; 3:75-79.

<sup>36</sup> Jeanty P, Romero R, Obstetrical Ultrasound. New York, NY: McGraw-Hill; 1988, 324.

<sup>37</sup> Jeanty P, Romero R, Obstetrical Ultrasound. New York, NY: McGraw-Hill; 1988, 324.

<sup>38</sup> Yarkoni S, Schmit W, Jeanty et al: Clavicular measurement- a new biometric parameter for fetal evaluation. *Journal Ultrasound Med.* 1985; 4:467-470.

<sup>٣٩</sup> شموط أنور: الإيكوغرافي في التوليد و أمراض النساء. دار القدس للعلوم- دمشق - يرموك , الطبعة الأولى ٢٠٠٤.

<sup>40</sup> Hata k, Hatat, et al: ultrasonographic measurement of the neck correlated with gestational age. *Journal Ultrasound Med.* 1988; 7:333-337.

<sup>41</sup> Goldstein I, Reece EA, Pilu G, et al: cerebellar measurements with ultrasonography in the evaluation of fetal growth and development. *American Journal Obstet Gynecol*, 1987; 156: 165-1069.

<sup>42</sup> R Malik, VK Pandya, P Shrivastava: Gestational age estimation using transcerebellar diameter with grading of fetal cerebellum and evaluation of TCD/AC (Transcerebellar diameter /abdominal circumference) ratio as a gestational age independent parameter ; *Ind J Radiol Imag* 2003 13:1:95-97

<sup>٤٣</sup> شموط أنور: الإيكوغرافي في التوليد و أمراض النساء. دار القدس للعلوم- دمشق - يرموك , الطبعة الأولى ٢٠٠٤.

<sup>44</sup> R Malik, VK Pandya, P Shrivastava: Gestational age estimation using transcerebellar diameter with grading of fetal cerebellum and evaluation of TCD/AC (Transcerebellar diameter /abdominal circumference) ratio as a gestational age independent parameter ; Ind J Radiol Imag 2003 13:1:95-97

<sup>45</sup> R Malik, VK Pandya, P Shrivastava: Gestational age estimation using transcerebellar diameter with grading of fetal cerebellum and evaluation of TCD/AC (Transcerebellar diameter /abdominal circumference) ratio as a gestational age independent parameter ; Ind J Radiol Imag 2003 13:1:95-97

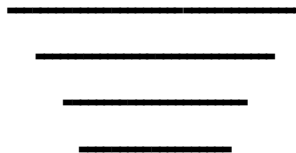
<sup>46</sup> Vinkesteyn AS, Mulder PG, Wladimiroff JW: Fetal transverse cerebellar diameter measurements in normal and reduced fetal growth; Department of Obstetrics and Gynecology, University Hospital Rotterdam, Dijkzigt, The Netherlands.

<sup>47</sup> Meyer WJ, Gauthier DW, Goldenberg B, Santolaya J, Sipos J, Cattledge F: The fetal transverse cerebellar diameter/abdominal circumference ratio: a gestational age-independent method of assessing fetal size; Department of Obstetrics and Gynecology, University of Illinois, Chicago 60612.

<sup>48</sup> Tongsong T, Wanapirak C, Thongpadungroj T: Sonographic diagnosis of intrauterine growth restriction (IUGR) by fetal transverse cerebellar diameter (TCD)/abdominal circumference (AC) ratio; Department of Obstetrics and Gynecology, Chiang Mai University, Thailand

<sup>49</sup> Meyer WJ, Gauthier D, Ramakrishnan V, Sipos J: Ultrasonographic detection of abnormal fetal growth with the gestational age-independent, transverse cerebellar diameter/abdominal circumference ratio. Department of Obstetrics and Gynecology, University of Illinois at Chicago, 60612-7313.

<sup>50</sup> S Rotmensch, I Goldstein, M Liberati, J Shalev, Z Ben-Rafael, and JA Copel: Fetal transcerebellar diameter in Down syndrome



# الدّراسة العميّة

## الفصل - ل

### مدخل إلى البحث

#### موضوع البحث:

دراسة مدى فائدة القطر عبر المخيخ في تقدير العمر الحولي عند أجنة الحوامل المراجعات لمشفى التوليد وأمراض النساء الجامعي، وذلك للوصول إلى بروتوكول عمل أمثل - بمقارنة نتائج القياسات المختلفة المعتمدة لتقدير سن الحمل صدويًا - لتحديد أدق للعمر الحولي للجنين، ولا سيما في الحالات التي يتطلب فيها القرار الولادي معرفة العمر الحولي بدقة.

#### مقدمة البحث:

يعتبر القطر عبر المخيخ معياراً صدويًا حديث الاستخدام لتقدير العمر الحولي داخل الرحم، ويعتقد الباحثون أنه أكثر موثوقية من العديد من الحالات من المعايير السابقة الاستخدام (القطر بين الجدارين وطول عظم الفخذ ومحيط البطن)، ففوتصلت موثوقية هذه إلى ٩٢% مقارنة مع ٧٨% لمحيط البطن و ٣٥% لمحيط رأس و ٣٨% لطول عظم الفخذ، في حين أن موثوقية القطر بين الجدارين كمعيار مفرد لم تتجاوز ٣٢%.

ويختلف الشكل الصدوي للمخيخ بتقدم العمر الحولي ولهذا يصنف إلى ثلاث درجات:

- الدرجة الأولى: يكون فيها نصف الكرة المخيخية كيسيتين كرهيتين الشكل، وتكون الدودة المخيخية غير ظاهرة صدويًا وتتناسب هذه المرحلة مع عمر حولي يعادل ٢٠ أسبوعاً وسيطياً (١٦-٢٣ أسبوعاً)، ويكون الانحراف المعياري لتقدير عمر الحمل في هذه المرحلة حوالي ٣ أم.

- الدرجة الثانية: وهنا يأخذ نصف الكرة المخيخية شكلاً جرسياً تقريباً، وتكون حوافها عالية صدوية وتظهر الدودة المخيخية بشكل مستطيل بين نصفي كرة المخيخ، وهذا يتناسب مع عمر حولي يعادل ٣٠ أسبوعاً وسيطياً (٢٤-٣٢ أسبوعاً) ويعادل الانحراف المعياري هنا لتحديد سن الحمل ٣ أم فقط.



• الدّرجة الثّالثة: أيخذ فيها نصفاً الكرة المخيخة شكلاً مثلثياً متجانساً لصدّ دوة، وهذا يتناسب مع عمر حمليّ يعادل ٣٦ أسبوعاً أوسطياً، ويكون الانحراف المعياريّ لتحديدنّ الحمل حوالي خمسة أم.

أما من حيث قطر المخيخ فيقياس في المستوى الأدنى من مستوى القطر بين الجداريّين بحيث تكون القرون الخلفيّة للبطينات الجانيّة ظاهرة، ويؤخذ القياس بين الحافّين الخارجيّتين للقطر الأعظميّ دون اعتبار الدّودة المخيخة، ويتوافق القياس الصدويّ بالمليمتر معنّ الحمل في الثّالث لمتوسط.

كما أنّ قياس القطر عبر المخيخ بات يعتبر من القياسات المفيدة في تقدير تطدّم الجنينيّ داخلوّ حم، من خلال حساب نسبة هذا القطر إلى محيط البطن، وهي النّسبة الّتي تبيّن أنّها تبقى ثابتة طوال فترة الحمل وتبلغ (٠,١٤٠٤٦ ± ٠,٠٥٩)، إنّ زيادة هذه النّسبة عن انحولغياريّين يعتبر مؤشّراً موثقاً على وجود تدنّم الجنين داخلوّ حم (الإيجليّة الحقيقة ٩٠%).

وهكّ أبحاث أخرى تشير إلى فائدة هذا القياس في التّنبؤ وبتناذر داوّن من خلال تشخيص الضّمور المخيخيّ الّذي يثحباكرّ في هذا التّناذرواّن كانت هذه الأبحاث غير موثّقة وغير كافية.

### أهميّة البحث:

لا يزال تقدير العمل الحلميّ داخلوّ حم مشكلة مهمّة تواجه أطباء التّوليد في مله أرسنة اليومية، ويفاقم هذه المشكلة قلّ الوعي الوالديّ وتعدّد الولادات وتعاقبها (الحمل في فترات الإرضاع) أو الاستخدام الشّدائع غير المضبوط لمانعات الحمل الفمويّة فكلّ هذه العوامل تتغيّر أهمّ عوامل تحديدنّ الحمل بدقّة وهوالتّاريخ الموثوق لآخر طمث، وللتّالي تزيد من حدّيّ مله أرس في الحالات الّتي يعتمفها القرار الولاديّ على تحديد دقيق سنّ الحمل.

إنّ هذا التّحدّي يجعل من دراسة اختبار موثوق لتحديد سنّ الحمل أمرّاً بالغ الأهميّة، وخطوة نقدّة في وضع بروتوكول عمل لتشخيص وتدبير شتّى الحالات التّوليدية في مشفى التّوليد وأمراض النّسّالجماعيّ ممّا يخفّض من نسب الاختلاطات الوليدّة والوليدّة.

### أهداف البحث:

١. تقصدُ بي الحسايدَ والذَّوِيَّةَ والفلَيْمَ نَبَّوِيَّةَ الإيجليَّةَ والسَّيِّدَةَ لِهَاصَّةً باستخدام القطر عبر المخيخ في تحديد العمل الحلميَّ لدى مراجعات مشفى التَّوليد وأمراض الذَّسَاء الجامعيِّ بحلب.

٢. تقييم إمكانيَّة تشخيص العمل الحلميِّ الدَّقيق بالاعتماد على القياسات الصِّدِّدِيَّة المتتوِّعة، والمقارنة بينها، وتحديد مدى فائدتها لصدِّدِي والدَّ راساتلس رِيْدِيَّة في هذا المجال.

٣. وضع بروتوكول عمل للتَّقييم الدَّقيق للعمل الحلميِّ بغية الوصول إلى أقلَّ قدر ممكن من الاختلاطات الوالِدِيَّة والجَنِيَّة المرتبطة بالتحديد الخاطئ أو غير الموثوق لسنِّ الحمل.

٤. دراسة مدى فائدة نسبة القطر عبر المخيخ إلى محيط البطن الجَنينيِّ في تشخيص خدائهمو الجَنينيِّ غير المتناظر داخلهِّ حم.

٥. مقارنة نتائج البحث مع الدَّراسات العالِيَّة المشابهة.

### مادَّة البحث:

المريضات الحوامل المراجعات لمشفى التَّوليد وأمراض الذَّس الجامعيِّ بحلب، واللَّواتي تمَّ تحديد العمل الحلميِّ لهنَّ سريريًّا أو بالدَّراسات الصِّدِّدِيَّة، وذلك خلال فترة الدَّراسة الممتدَّة من ٢٠٠٧/١/١ وحتى ٢٠٠٩/١/١ وقد بلغ عدد الحالات ٢٣٠ حالة.

### طريقة البحث وأسلوبه:

تشمل الدَّراسة مجموعتين من الحوامل:

### المجموعة الأولى:

مجموعة المريضات اللَّواتي يقيِّم العمل الحلميَّ لهنَّ باستخدام القطر عبر المخيخ والمشعرات الصِّدِّدِيَّة الأخرى ممَّا يسمح بمقارنة نتائج الدَّراسة المجرأة مع معطيات تحديد العمل الحلميِّ (سواء عبر تاريخ آخر طمث أو تقييصدويِّ باكراً للحمل أو عبر تقيييعنِّ الحمل بعد الولادة مباشرة من قبل أطبَّالو عايلصِّدِّدِيَّة للأوِيَّة للوليد) وهؤلاء الحوامل تمَّ تقيييعنَّ سريريًّا وصدويًّا وينقسمن إلى مجموعتين:

• مجموعة الحوامل اللاّواتي تحيّد تقييم العمل الحلميّ لهنّ في سياق المراقبة الحيّة، وللتّالي تحيّد تقييم دقّة القياسات للصدّ دويّة بالمقارنة مع التّاريخ الحلميّ الموثوق ومع سلسلة القياسات المتكرّرة.

• مجموعة الحوامل اللاّواتي يراجعن المشفى بحالة مخاض فعّال، تفيدّ تقييم دقّة القياس الصدويّ (الوحيد هنا) مع التّاريخ الطّيّ الموثوق إن وجد، أو مع تقييم صدويّ باكر للحمل أو مع تقييم طبيلبو عاية الوليد للأو يّة.

### المجموعة الثّانية:

المريضات اللاّواتي يكون العمل الحلميّ المقيدّ م لهنّ باستخدام القطر عبر المخيخ والقياسات للصدّ دويّة الأخرى أقلّ من العمل الحلميّ العدّ د بتاريخ آخر طمّث موثوق بشكل واضح بحيث يشكّ بوجود حدّ نفوّ غير متناظر داخلوّ حم، وهذه المجموعه قد استكمال دراستها بالإيكوغرافي والإيكودوبلر لتحديد وجود حدّ الدّموّ داخلوّ حم مقارنة الذّ تائج مع نسبة TCD\AC بهدف تقصّي فائدة هذه النّسبة في تشخيص أو نفّي حدّ الدّموّ غير المتناظر للجنين داخلوّ حم.

\*\*\*\*\*

استمارة البحث:

استمارة بحث تقدير العمل الحلميّ بالاعتماد على القطر عبر المخيخ

## الهوية الشخصية:

الاسم: العمر:

العمل: السكن:

## القصة الولادية:

عدد الحمل: عدد الولادات: مهلة تقصير:

عدد الولادات المبكرة: عدد الإسقاطات:

عدد الوفيات: عدد الأحياء:

## الحمل الحالي:

سن الحمل حسب LMP:

الموثوقة: موثوق غير موثوق

سبب انخفاض الموثوقة: إرضاع OCP اضطراب طمثي نقص الوعي

سن الحمل حسب التقليل ريري (بعد القعر):

## الدراسات:

قياس BPD - قياس FL - قياس AC

قياس الكبد الالوي: - نضج المشيمة: تشوهات جنينية:

قياس TCD: سن الحمل حسب TCD

نسبة TCD\AC:  $0.0227 >$   $0.0227 - 0.02586$   $0.02586 <$ درجة نضج المخ: درجة أولى  $0$  درجة ثانية  $0$  درجة ثالثة  $0$ 

## الدراسة الدولية:

جريان سري ناقص جريان سباتي ناقص جريان سباتي زائد

## الوليد:

العمر للقدّر بعد الولادة:

وزن الوليد:  $0 > 2500$  غ  $0 - 2500 - 4000$  غ  $0 < 4000$  غتأخر نمو جنيني: متناظر  $0$  غير متناظر

حاجة للإنعاش: حاجة للحاضنة: متوفى بسبب:

## الفصل - اني

### الصفات العام ة للمجموعات المدروسة

#### أولاً - حجم العينة وتصنيف الحالات:

بلغ حجم العينة المدروسة ٢٣٠ حالة من الحوامل المراجعات شعبة العيادات والإسعاف في مشفى التوليد وأمراض النساء الجامعي ، سواء اللواتي قبلن على سبيل المراقبة والدّراسة في الدّعبة الولائية، أو أولئك اللواتي قبلن بحالة للولادة أو القيصرية الانتخيلية أو بحالة مخاض فعّال.

انقسمت المريضات إلى مجموعتين:

١، **المجموعة الأولى** مجموعة الحوامل سويّات نموّ الأجنة، وقد بلغت ٢٠٠ حاملٍ راجعن شعبتي العيادات والإسعاف للمراقبة الحيطيّة ممّا أتاح الحصول على قياسات متتابعة ومتكرّرة للمعايير الصّديّة لتقدير سنّ الحمل بما فيها القطر عبر المخيخ، ممّا بحالة مخاض فعّال ممّا أرغما على الاعتماد على قياس وحيد للمعايير الصّديّة ابقة الذكر.

٢، **المجموعة الثّانية**: مجموعة الحوامل ناقصات نموّ الأجنة في سياق تناذر خدّ نموّ الجنين داخل الرحم، وقد بلغت ٣٠ حاملاتٍ فيها اللّقاء على تحديد موثوق سنّ الحمل مع قياسين متتابعين على الأقلّ لارتفاع قطر رحم عن ارتفاع العانة، وكذلك مع قياسين متتابعين على الأقلّ للمشعرات الصّديّة المختلفة بما فيها القطر عبر المخيخ، إضافة إلى المعايير الأساسية لتشخيص تناذر خدّ الدّم داخل الرحم، ونعني هنا المشعرات الصّديّة (شح السّالبيّ) ونضج المشيمة) والمشعرات الدّولريّة (نقص الجريان الانبساطيّ في الأوتار حيّ والسّويّ واختلال الجريان السّباتيّ).

#### الصّفات العامّة لمريضات المجموعة الأولى:

بلغ عدد المريضات اللّواتي تمّ تقييم ودراسة لّالة القطر عبر المخيخ لهنّ وكنّ سويّات نموّ الأجنة ٢٠٠ حالتهنّ انتقاهنّ وفقاً للمعايير الدّاليّة:

- عدم وجود أمراض والدّية تؤثّر فيهنّ الجنين، ولا سيّما الدّاء السّكريّ وارتفاع الدّوّر الشّبانيّ وفقر الدّم وغيره من الأمراض المزمنة، إنّمّ استبعاد هؤلاء المريضات.

- سلامة الأغشية.

عدم وجود شذوذات كميّة في السائل لوي (شح أو موه السائل).

- عدم وجود آفات مثبتة في المشيمة.

- عدم وجود آفات ظهريّة مثبتة لدى الجنين.

تم تقسيم المجموعة الأولى إلى فئتين:

### الفئة الأولى (فئة المراقبة الحميلة):

وقد ضمت هذه الفئة المريضات المراجعات لشعبي العيادات والإسعاف لأغراض مختلفة تساعد على تحقيق هدف مراقبة الحمل والاطمئنان على حسن سيره. وهنا قامت الدراسة بتقييم فعليّة القياسات الصّدّية المختلفة بالاستناد إلى محاولة تحديث الحمل بشكل موثوق (تاريخ آخر طمث موثوق أو تقييم صدويّ باكر للحمل)، إلى جانب إجراء القياسات المتابعة، ومقارنة هذه القياسات مع الجدول المعياريّة لها ومعطو الولد ريريّ لارتفاع قعر الرحم عن ارتفاع العانة، وللتالي نجحت في التحقّق من دقّة القياس باستخدام القطر عبر المخيل الجنينيّ أو عدم دقّته في تحديث الحمل.

ضمت هذه المجموعة ٥٠ حاملاً، أي ما يعادل ٢٥% من مريضات المجموعة الأولى و ٢١،٧٤% من مريضات الدراسة كلّها، وجميعهنّ ولدن في مشفانا.

### الفئة الثانية (فئة المواقض والقيصريّات):

وتشمل المريضات اللواتي راجعن المشفيرةً ولادةً فقطفي أثناء الحمل وذلك إما أن المخاض بتمام الحمل أو قبل ذلك بقليل، أو لإجراء القيصرية الانتخيلية أو الإسعافية، و تمّ هنا تقييم مدى دقّة القياس الوحيد المجري للقطر عبر المخيل الجنينيّ:

- بالمقارنة مع وجود تحديد دقيق سنّ الحمل (تاريخ آخر طمث موثوق أو تقييم صدويّ باكر).
- بالمقارنة مع القياسات الصّدّية الأخرى.
- بالمقارنة مع التّقييم ريريّ سنّ الحمل، المجري من قبل طبيب لولّد عيّة الجنينة الأولى.

ضمّت هذه الفئة ١٥٠ حاملاً، أي بنسبة ٧٥% من مريضات المجموعة الأولى ونسبة ٦٥,٢١% من مريضات الدّراسة كلّها.

#### الصفات العامّة لمريضات المجموعة الثّانية:

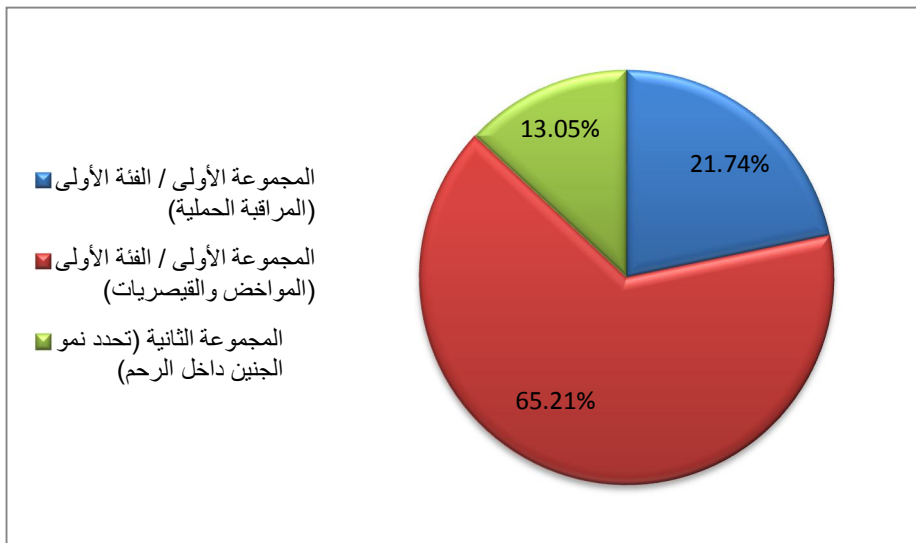
ضمّت المجموعة الثّانية ٣٠ حاملاً (بنسبة ١٣,٠٥% من مريضات الدّراسة) شخّص لهنّ حدّ نموّ الجنين داخل الرحم خلال فترة عامين من الدّراسة بالرّغم من أنّ عدد الحالات المشخّصة في المشفى في فترة الدّراسة يفوق هذا العدد. انتقاء هذه المجموعة فقط بعناية لتحقيق المعايير التّالية فيها:

- جمعيّ لهنّ تحديد موثوق لىّ الحمل بتاريخ آخر طمث موثوق أو بتقييص دويّ مبكّر موثّق.
- جمعيّ لهنّ شحّ في السّائل لويّ مع نضج في المشيمة.
- جمعيّ لهنّ افتراق بين ارتفاع قعطر رحم عن ارتفاع العانة وبين اللّسن مقدّرة ثمّاً على العمل الحملّي الحدّ د بقة.
- جمعيّ لهنّ اختلال في الدّور الّرّجّ المشيميّ الجنينيّ مثبت الدّراسة بالإيكودوبلر.
- جمعيّ لهنّ أحد عوامل الخطر لقدّ نموّ الجنين داخل الرحم.

الجدول والمخطّط البيانيّ التّاليان يبيّنان نسبتيّ مجموعتيّ الدّراسة:

المجموعة / الفئة	العدد	نسبة
المجموعة الأولى / الفئة الأولى (المراقبة الحملّة)	٥٠	٢١,٧٤%
المجموعة الأولى / الفئة لثّانية (المواخض وقيصريّات)	١٥٠	٦٥,٢١%
المجموعة لثّانية (تدّد الجنين داخل رحم)	٣٠	١٣,٠٥%

الجدول رقم (١) مريضات الدّراسة على المجموعات والفئات



الشّدكّلياني رقم (١) توزّع مريضات الدّراسة على المجموعات والفئات

### ثانيًا - التّوزّع العمريّ لمريضات الدّراسة:

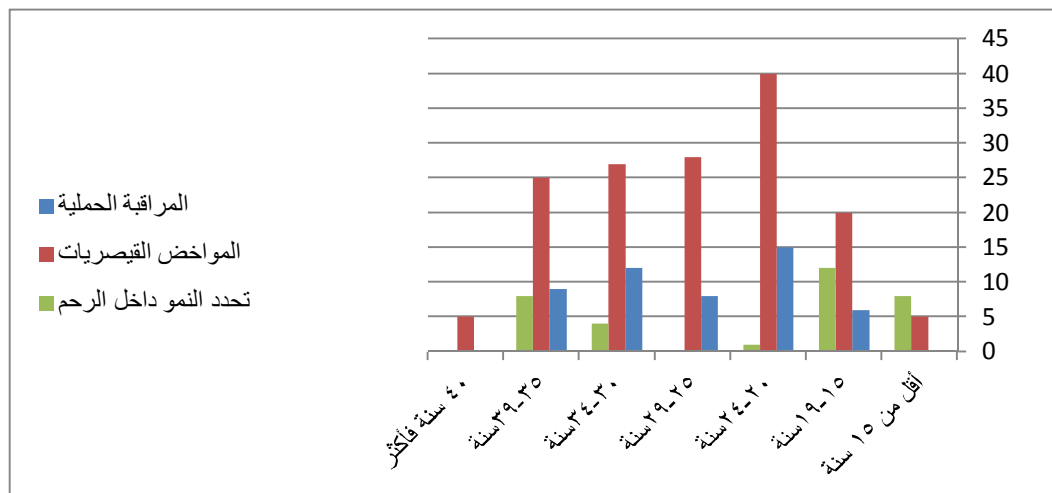
تمّ توزيع المريضات إلى مجموعات عمريّة من خمس سنّ وابتدأ لأنّ هذا يساعد على إعطاء عدّة مؤشّرات خاصّة فيما يتعلّق بسنّ الحوامل اللاّوآتي تصاب أجنتّ بخدّ الدمّ داخل الرّحم.

الجدول والشّدكّلياني التّاليان بيّنا التّوزّع العمريّ للمريضات في الفئات المختلفة:

المجموعة العمريّة	المراقبة الحملية	المواضع والقيصريّات	تدّد و داخل حم
أقلّ من ١٥ سنة	-	٥	٨
١٥-١٩ سنة	٦	٢٠	١٢
٢٠-٢٤ سنة	١٥	٤٠	١
٢٥-٢٩ سنة	٨	٢٨	-
٣٠-٣٤ سنة	١٢	٢٧	٤
٣٥-٣٩ سنة	٩	٢٥	٨
٤٠ سنة فأكثر	-	٥	-

الجدول رقم (٢) التّوزّع العمريّ لمريضات الدّراسة





### الشكل الثاني رقم (٢) التوزيع العمري لمريضات الدراسة

نتيجه لنظمنا سابق مؤشراهم ان فالز واج المبكر يترافق مع إهمال وسوء المراقبة الحمية من جهة (وهذا ناجم عن الوسط المتخلف الاقتصادي في هذا الزواج) كما أنه يترافق مع تحديد النمو داخل الرحم من جهة أخرى.

فإذا علمنا أن الدراسة راسختمت جميع الحالات التي راجعت المشفى خلال فترتها من المجموعة العمرية الأولى (أقل من ١٥ عاماً) التي بلغت ٣ لحاملاً، فإن عدد الحالات المصابة أجنتها بعد الولادة داخل الرحم كان ٨ من أصل ١٣ (أي بنسبة ٦١,٥٣%)، وهذا لا يرتبط هذاسن الحمل فحسب بل بعوامل متعددة تحيط أصلاً بهذه الحامل ولا سيما تأخر المستوى الاقتصادي والاقتصادي.

### ثالثاً- توزيع مريضات الدراسة حسب مكان السكن:

كانت جميع مريضات الفئة الأولى من المجموعة الأولى (مريضات المراقبة الحمية) من قاطنات مدينة حلب وضواحيها، بينما توزعت باقي المجموعات كما يلي:

سكن	فئة المراقبة	فئة المواخض	مجموعة تدوير
حلب وضواحيها	٥٠	٦٨	١٣
ريف حلب	-	٨٢	١٧

### الجدول رقم (٣) توزيع مريضات الدراسة حسب السكن

# شهادة

أشهد بأنّ العمل الموصوفي هذه الرّسالة، هو نتيجة بحث قاهه المرشح الدّكتور ياسر غادري تحت إشراف الأستاذ الدّكتور بشير ناصيف، في قسم التّوليد والأمراض النسائيّة في كِلّة الطّّالبشريّ . جامعة حلب وبمشاركة الأستاذ الدّكتور عبد السلام تارالحسن .

وأيّ رجوع إلى بحث آخر في هذا الموضوع مُوثّق في الصّ .

المشرف استاذ التوليد وأمراض النساء

طالبالد<sup>٣</sup> راسات العليا      أ.د. بشير ناصيف

المشرف المشارك أستاذ التوليد وأمراض النساء د. ياسر غادري

أ.د. عبد الله تار الحسین

حلب / / ٢٠٠٩ .

# Certificate

It is hereby certified that the work described in this thesis is the result of the author's own investigation under the supervision of Pro.Dr. BASHIR Nasif in the Department of Obstetrics & Gynecology . Faculty of Medicine -Aleppo University with co-supervision of Pro.Dr.Abdusattar Al-Hasan, and any reference to other researche's work has been duly acknowlwdged in the test.

## Candidate

Higher Studies Student  
Dr. Yaser Ghadri

## Director of Study

Professor of Ob & Gyn  
Pro.Dr. Basheer Nasif

### Co-Supervisor:

Professor of Ob & Gyn

Pro.Dr.Abdusattar Al-Hasan

Aleppo / / 2009.

# تصريح

أصرّح بأنّ هذا البحث :

تقدير العمر الحمليّ<sup>١</sup> بالاعتماد على القطر عبر المخيخ<sup>٢</sup>  
الجنينيّ<sup>٣</sup>

لم يسبق أن قُبِلَ لأيّ شهادة , ولا هو مُقامٌ حالياً للحصول على شهادة أخرى .

المرشّح

د. ياسر غادري

## Deceleration

It is hereby declared that this work:

**Gestational Age Estimation By Transcerebellar Diameter**

Has not already been accepted for any degree, nor it is being submitted at present for any other degree.

Candidate

Dr. Yaser Ghadri

# المناقشة

نوقشت هذه الرسالة سالمة بتاريخ / / ٢٠٠٠ م وأجيزت .  
المشرفون:

أعضاء اللجنة:

# كلمة شكر

أتوجّه بجزيل الشكر وعظيم الامتنان إلى الأستاذ الدكتور بشير ناصيف صاحب اليد البيضاء على مستقبلتي كوّمه و قبوله الإشراف على هذا البحث , وجهده المخلص لمراجعة وتنقيح صفحاته وإيصاله إلى الشّكل الذي آل إليه ..... مع فائق الاحترام .  
كما أتوجّه بالشكر الخالص إلى المشرف المشارك الأستاذ الدكتور عبد السّّ تار الحسن على دعمه للبحث.

ياسر

الإهداء